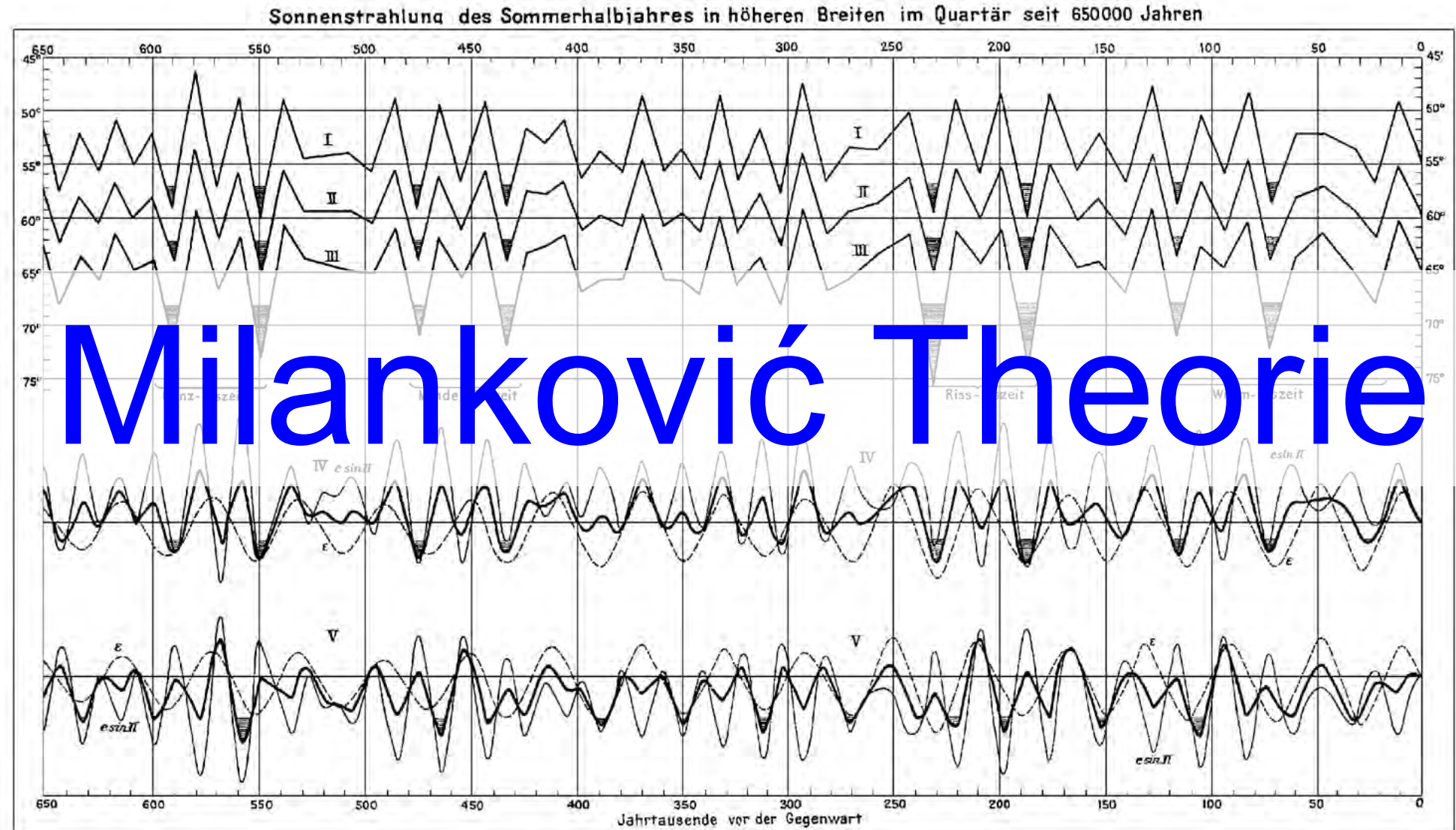


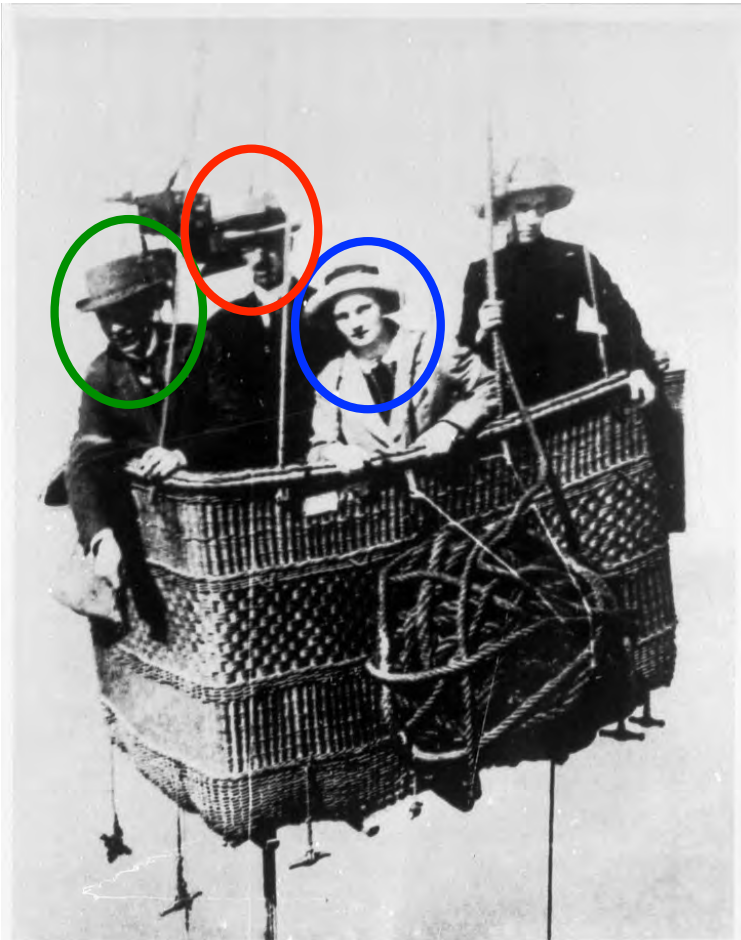
Kartierung der Eisschilde, Eiskernbohrungen und Klimarekonstruktion

Frank.Wilhelms@awi.de

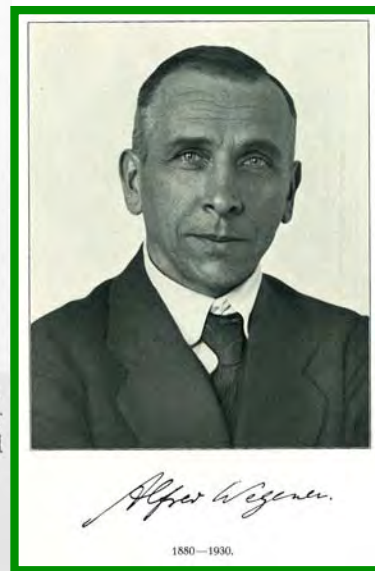
Wandgestaltung Farbkünstler Erich Wiesner



aus Köppen, W., Wegener, A.: Die Klimate der geologischen Vorzeit. 256 S.- Berlin: Borntraeger, 1924



Marburg * Bildarchiv Foto Marburg * Ballonflug:
Alfred Wegener (1880-1930), 1917-1919 Professor
der Astronomie und Meteorologie in Marburg, und
seine Angehörigen * Deutschland, 1912 * Von li
nach re: Alfred Wegener, sein Bruder Kurt
Wegener, seine Braut Else Köppen und seine
Schwester Tony Wegener
Neg.-Nr. 426.292 * Aufnahme 1997.06



Alfred Wegeners letzte Grönlandfahrt

Die Erlebnisse der deutschen Grönlanderexpedition 1930/1931
geschildert von seinen Reisegefährten und nach
Tagebüchern des Forschers

Unter Mitwirkung von Dr. Fritz Loewe

erinnert an
Else Wegener

geb. Köppen

Mit 5 Kupfbildern, 122 Abbildungen
in Kupf- und Kupferstichdruck, 11 Karten,
Grundrissen und Übersichten

Vorwort von Professor Dr. Kurt Wegener

4. Auflage



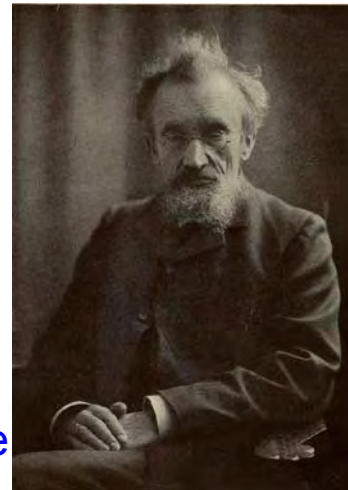
S. A. Brockhaus / Leipzig / 1935

Klimarekonstruktion



Milutin Milanković
Geophysiker, Mathematiker
* 28. Mai 1879 in Dalj
† 12. Dezember 1958 in Belgrad

Frage:
Theorie für
130 000 bis
600 000 Jahre
vor heute ?



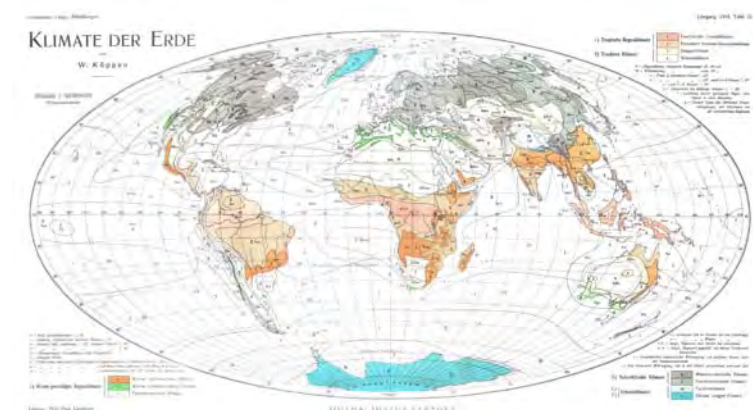
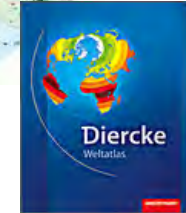
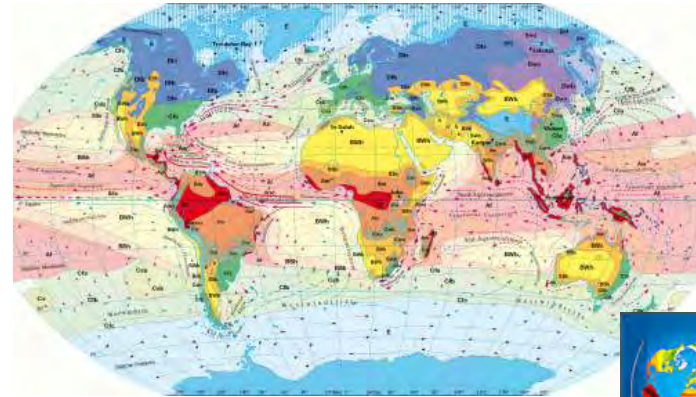
Vladimir Köppen, Meteorologe
* 25.9.1846 Sankt Petersburg,
† 22.6.1940 Graz.
Seewarte Hamburg

beruht als Vorstand
Abt. III (Wettertele-
graphie & Sturm-
warnungswesen)

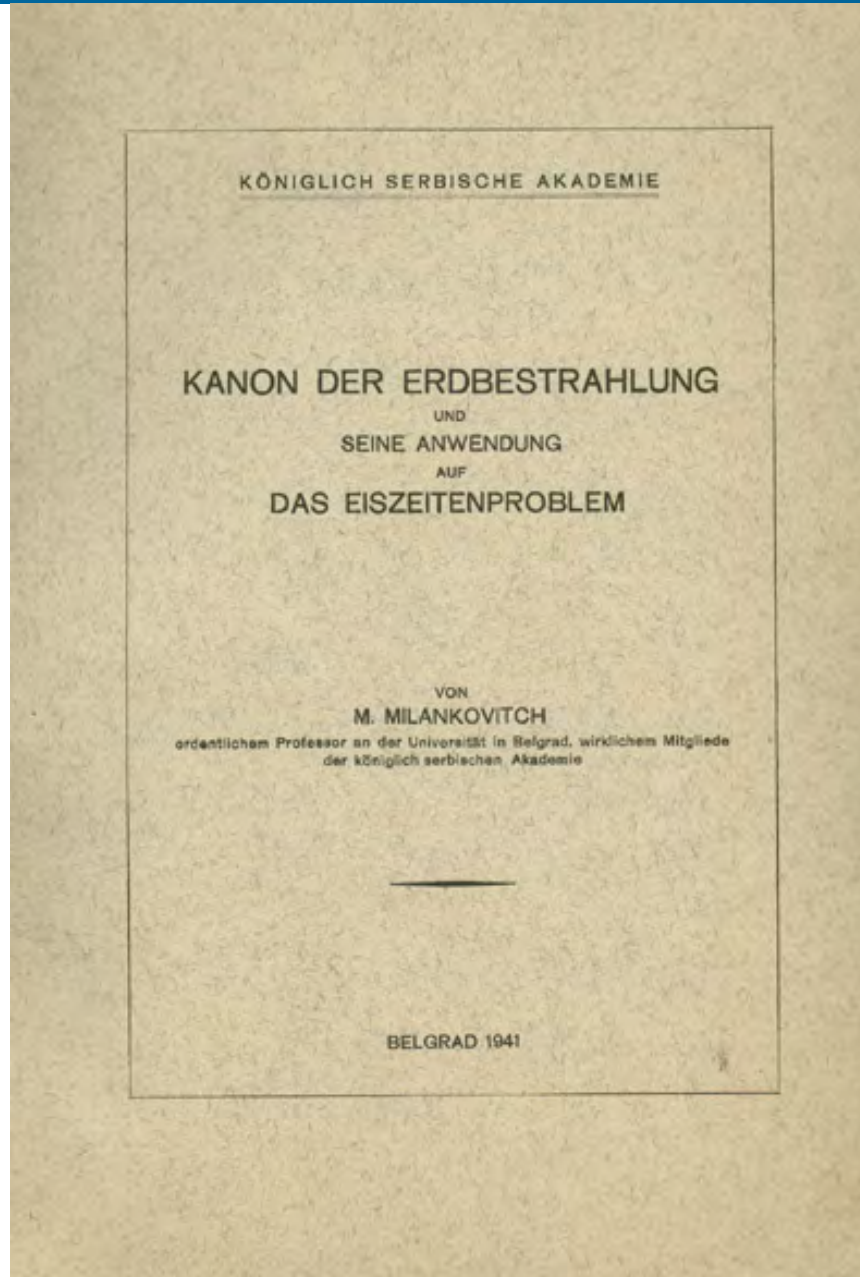


Georg von Neumayer
Geophysiker, Hydrograph
* 21. Juni 1826 Kirchheimbolanden
† 24. Mai 1909 Neustadt a. d. W.
Gründungsdirektor Deutsche
Seewarte Hamburg
Vorsitz Internationale Polarkommission

Climate der Erde nach Köppen/Geiger



Klimakarten: ab 1884, hier 1918



Computation of various insolation quantities for Earth

<http://www.imcce.fr/Equipes/ASD/insola/earth/online/index.php>

Compute insolation quantities derived from the orbital and precessional quantities

start time: 1.1 Myr
end time: -100 Myr (20 Myr since 2000)
sampling step: 100 Years
solution time: 2000
Orbital solution
La2004
 eccentricity
 climatic precession
 obliquity
 insolation

mean daily insolation / true longitude
 mean daily insolation / mean longitude
 mean monthly insolation
 mean annual insolation

latitude on the Earth
true/mean longitude

The result window contains two or more columns :

- time (expressed in 10^3 Julian years since J2000.0, the julian year is equal to 365.25 days [\[help\]](#))
- eccentricity (if checked)
- climatic precession (if checked)
- obliquity (if checked, expressed in radians)
- insolation quantities (if checked, expressed in W/m^2)

If you want to save the contents of the result window, you have to use the [Save](#) as menu item.

Reference

A&A 428, 261-285 (2004). DOI: [10.1051/0004-6361:20041335](https://doi.org/10.1051/0004-6361:20041335)
Laskar, J., Robutel, P., Joutel, F., Gastineau, M., Correia, A.C.M., Levrard, B.: 2004,
A long term numerical solution for the insolation quantities of the Earth.

[Astronomical Solutions for Earth Paleoclimates](#)

Contact

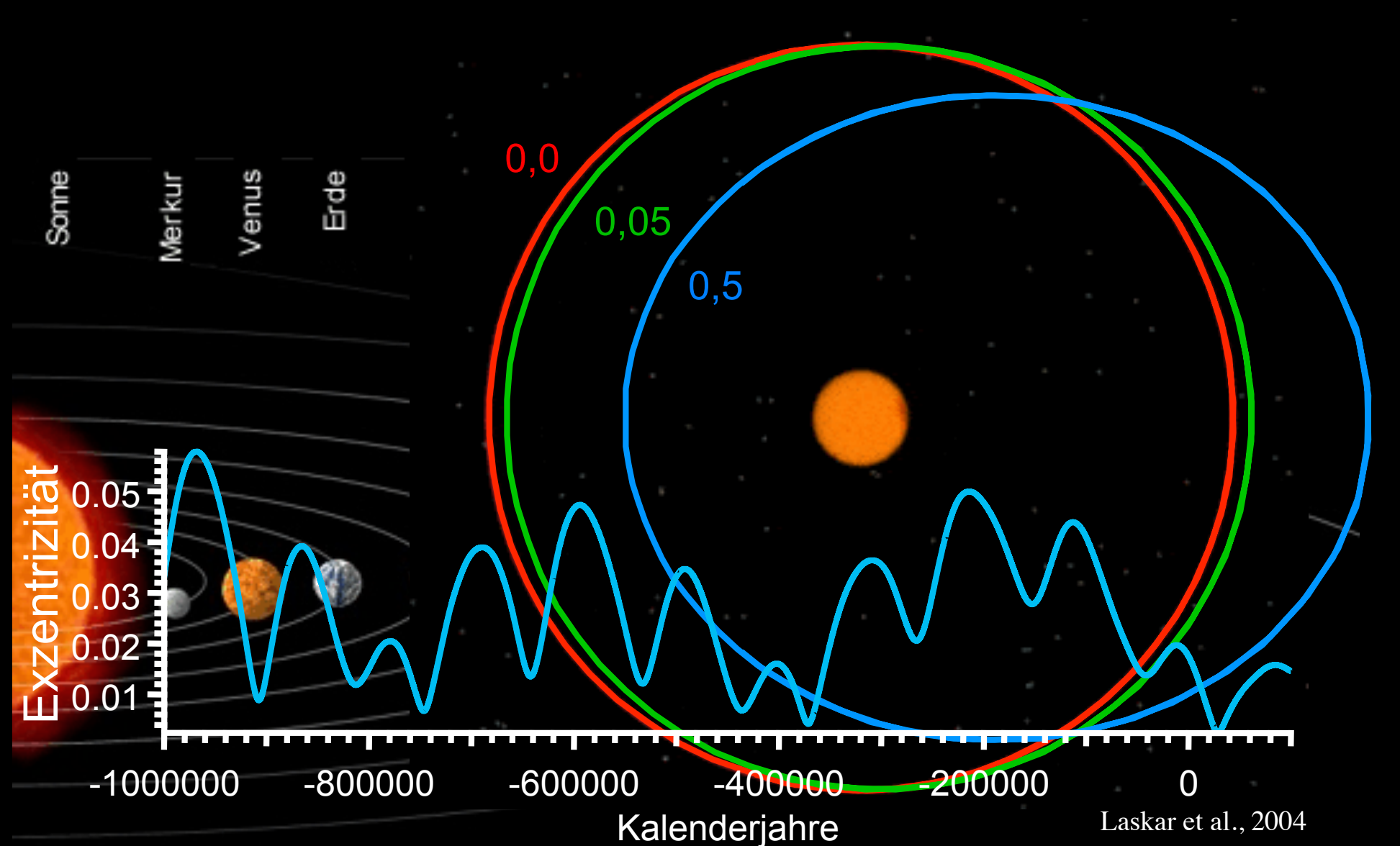
For all comments concerning these pages, please contact the authors : laskar@imcce.fr.

Last revision: 26 November 2010 - M. Gastineau

<http://www.imcce.fr/Equipes/ASD/insola/earth/online/index.php>
Laskar et al., 2004

1 von 1 03.01.12 17:07

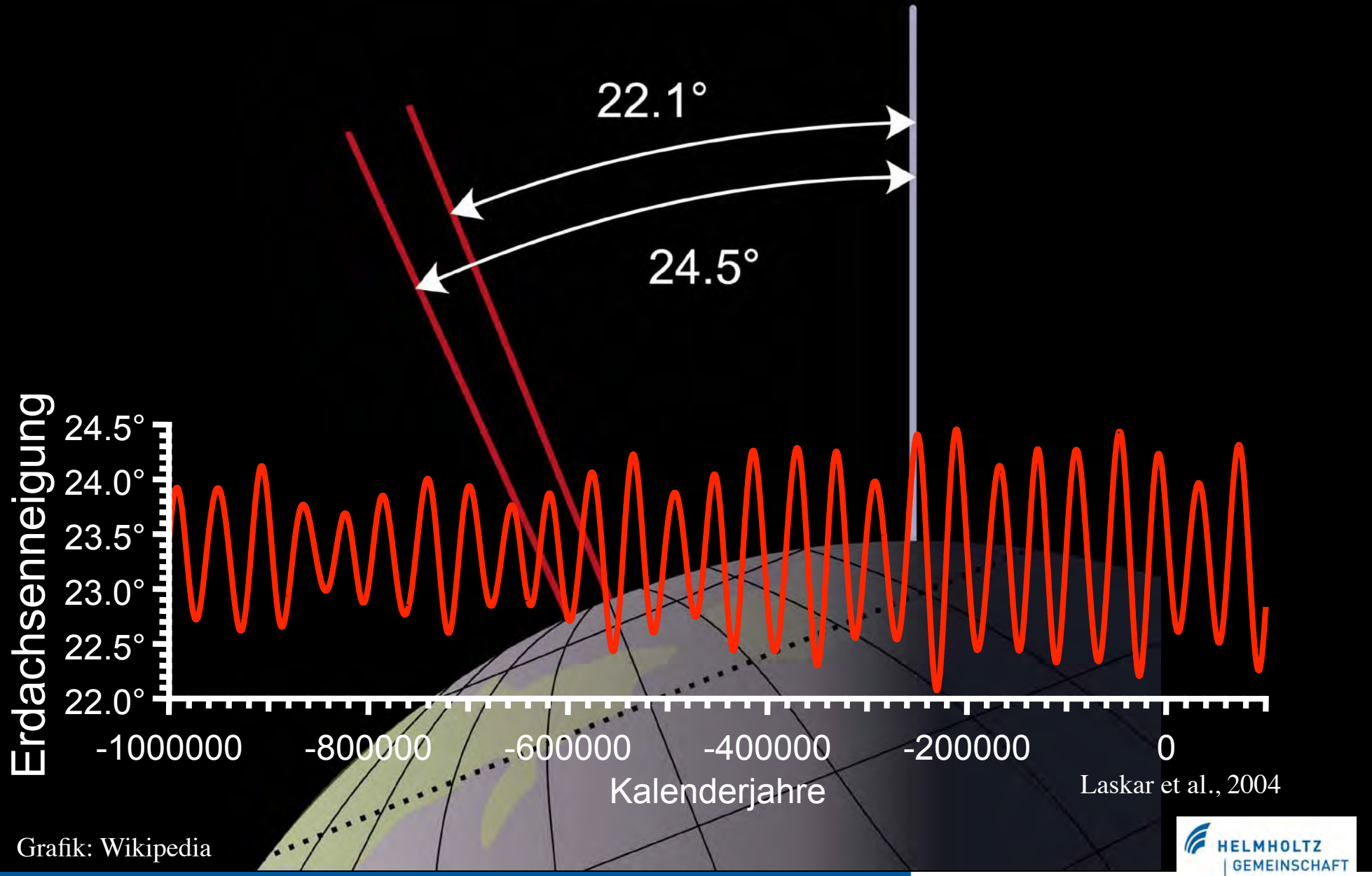
Exzentrizität



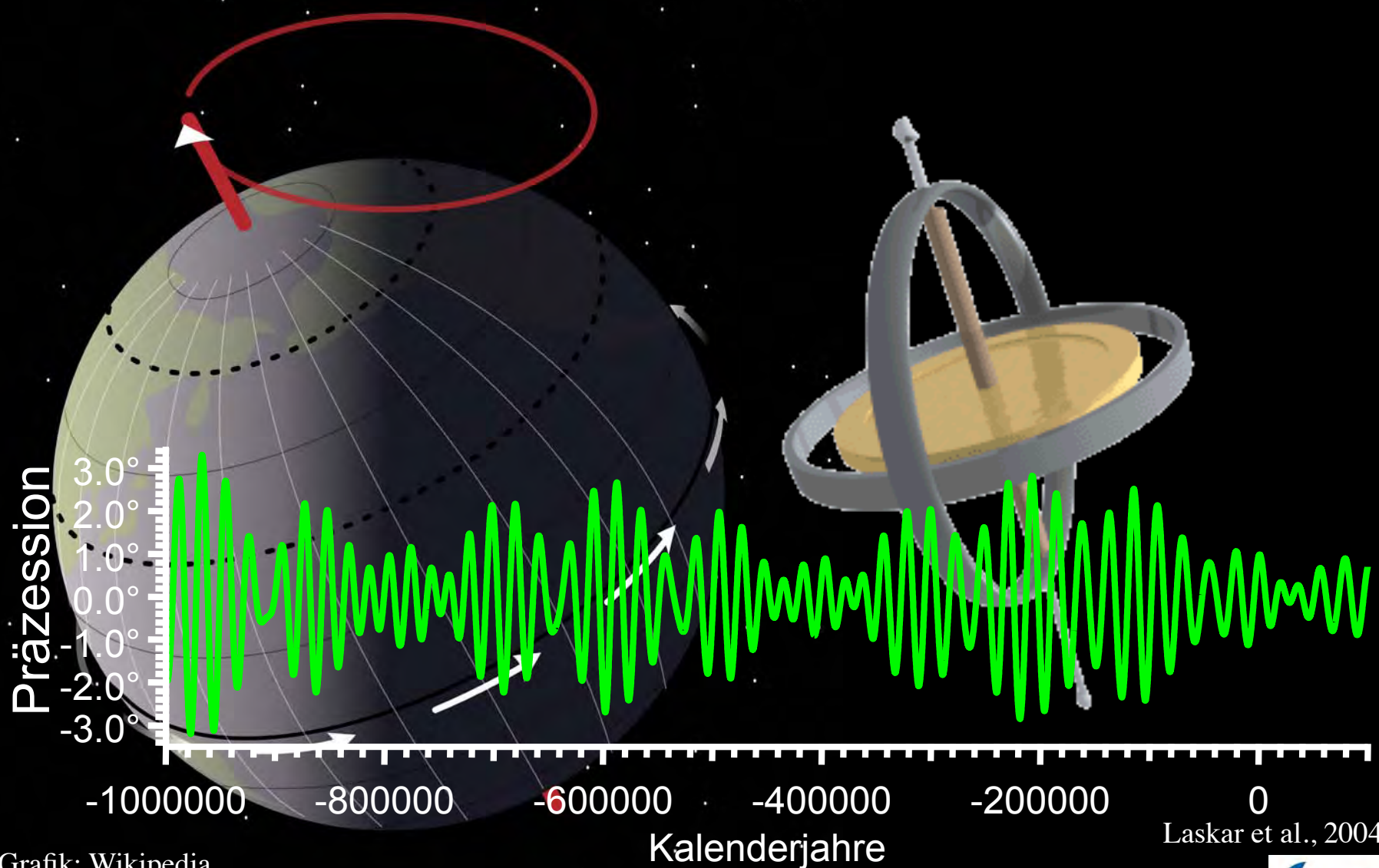
Grafik: Wikipedia

<http://www.pegasus-design.de/pix/gestirne/sonnensystem.gif>

Erdachsenneigung



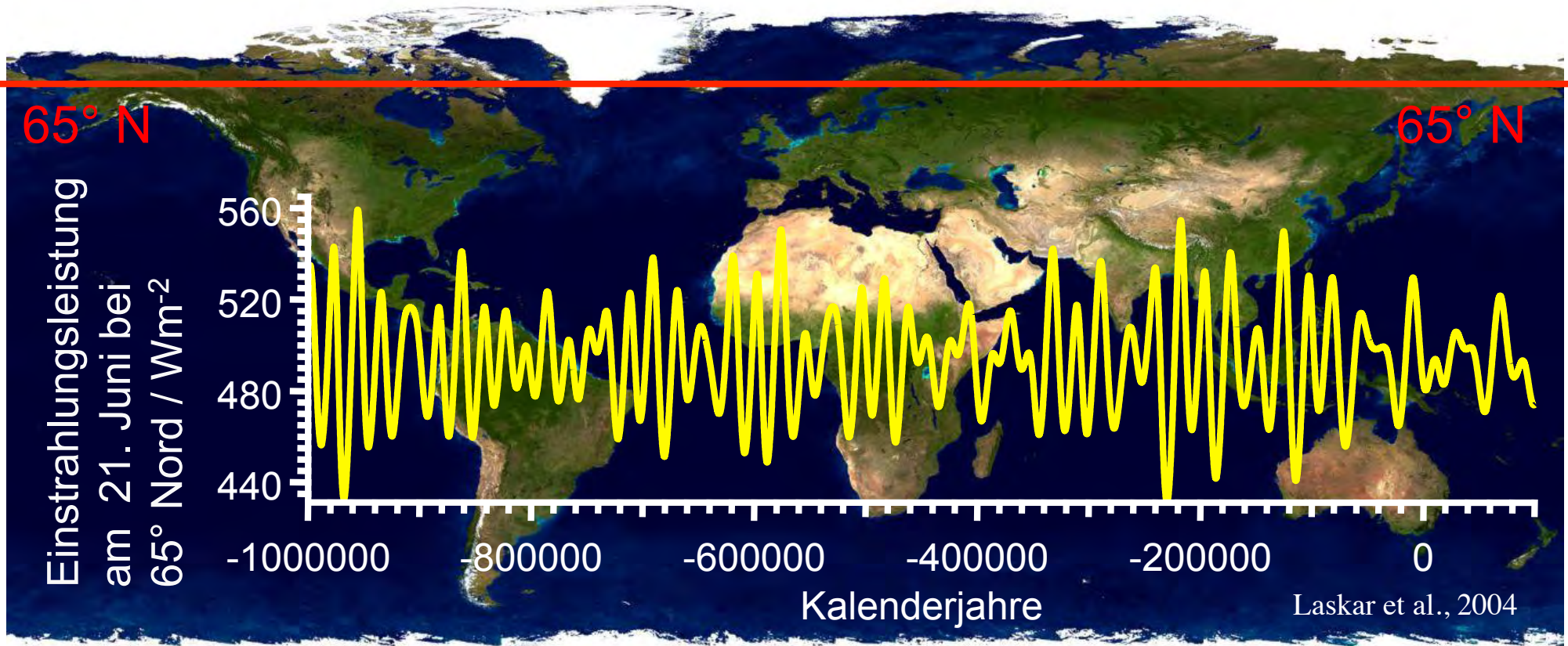
Präzession



Grafik: Wikipedia

Laskar et al., 2004

Veränderliche Einstrahlung

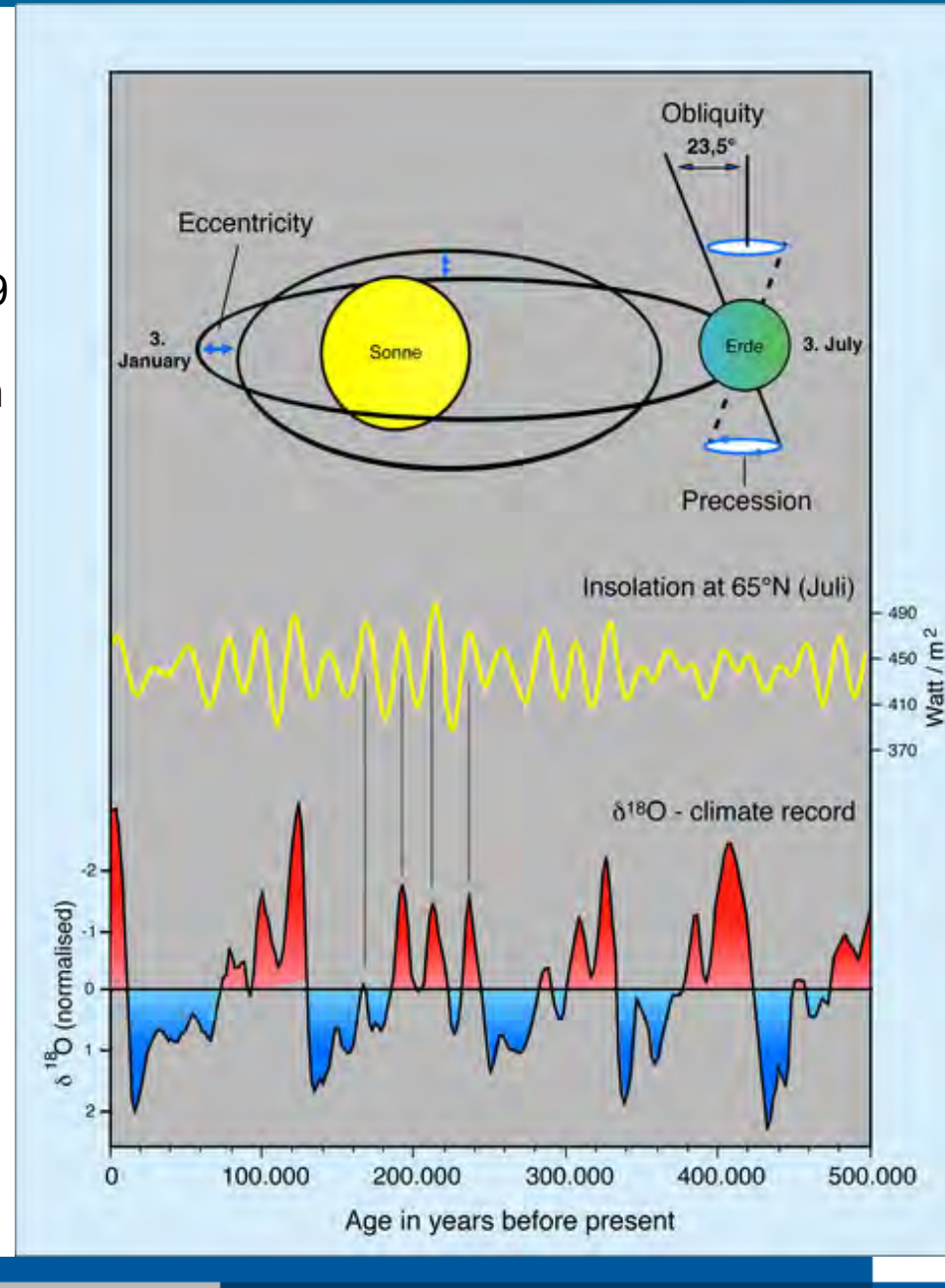


wallpaper@mygeo.info | copyright <http://earthobservatory.nasa.gov>

Orbitaler Antrieb & Orbitale Anpassung

Milanković, 1941
Berger, 1976
Hays et al., 1976
Imbrie & Imbrie, 1979
Bassinot et al. 1994
Grafik: R. Tiedemann

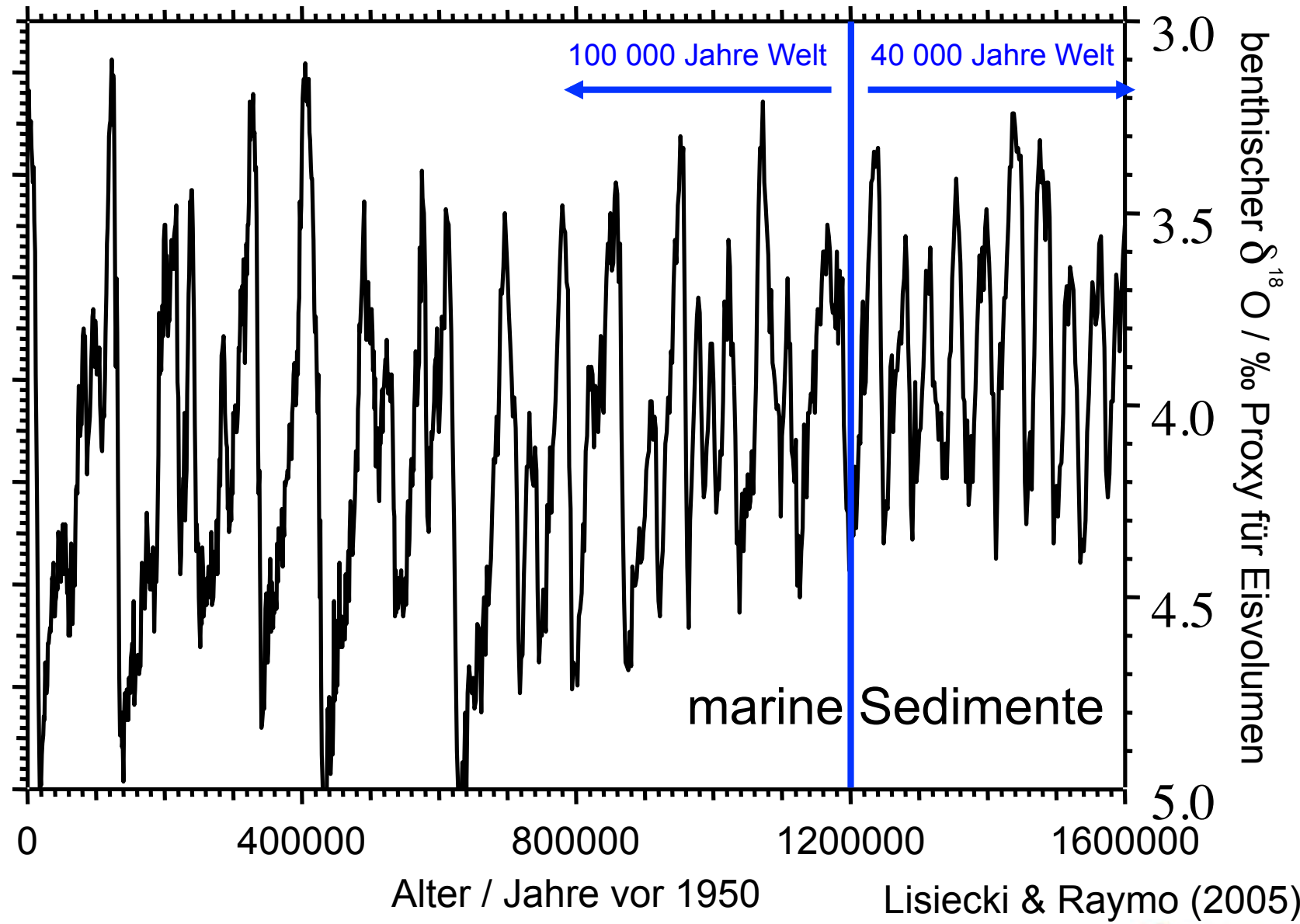
Datierung
↓
korreliert
↓



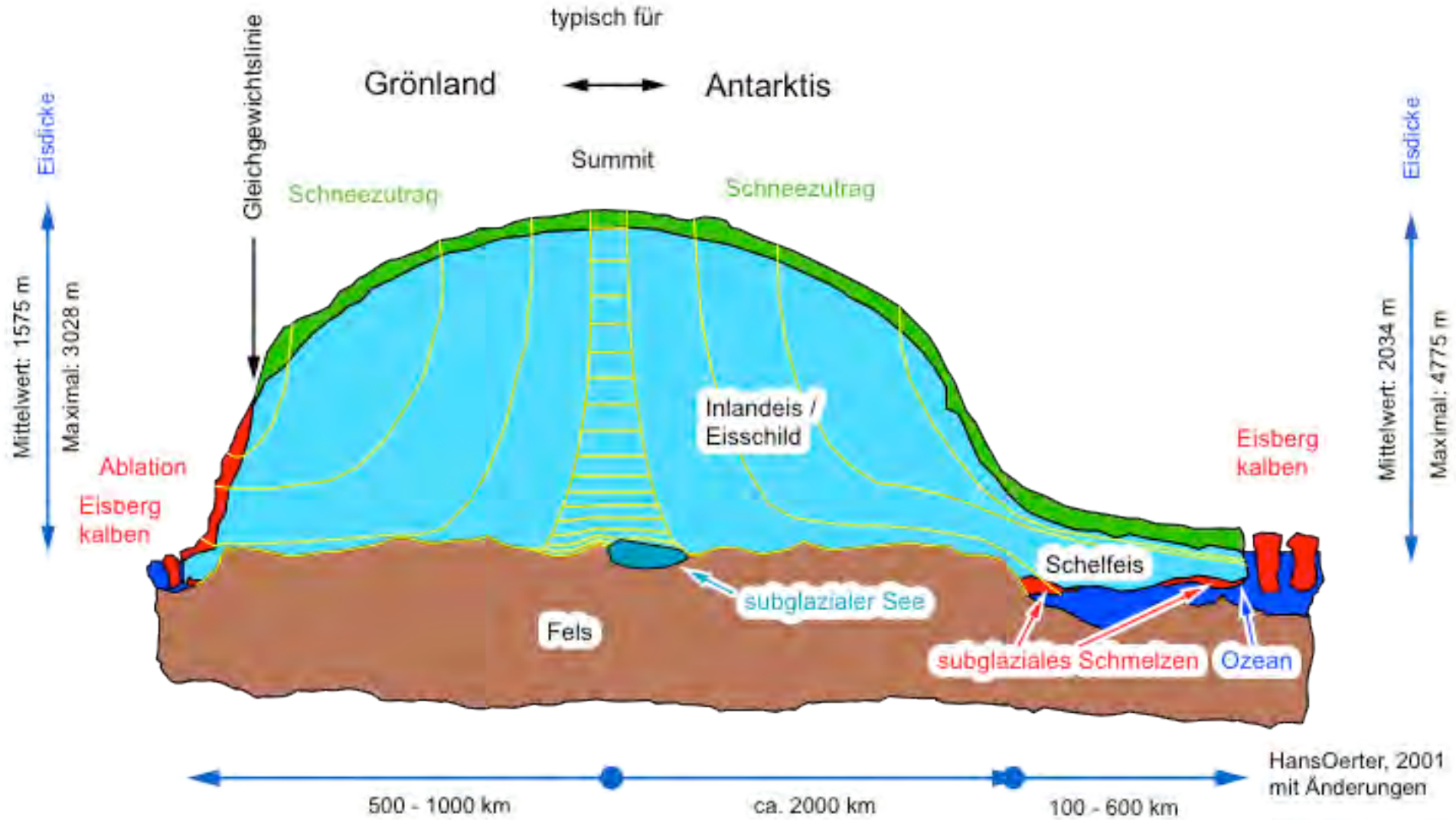
zu erst
bei marinen
Sedimenten

Einstrahlung
Proxyparameter
im Klimaarchiv
(z. B. globales
Eisvolumen)
mit unabhängiger
Datierung

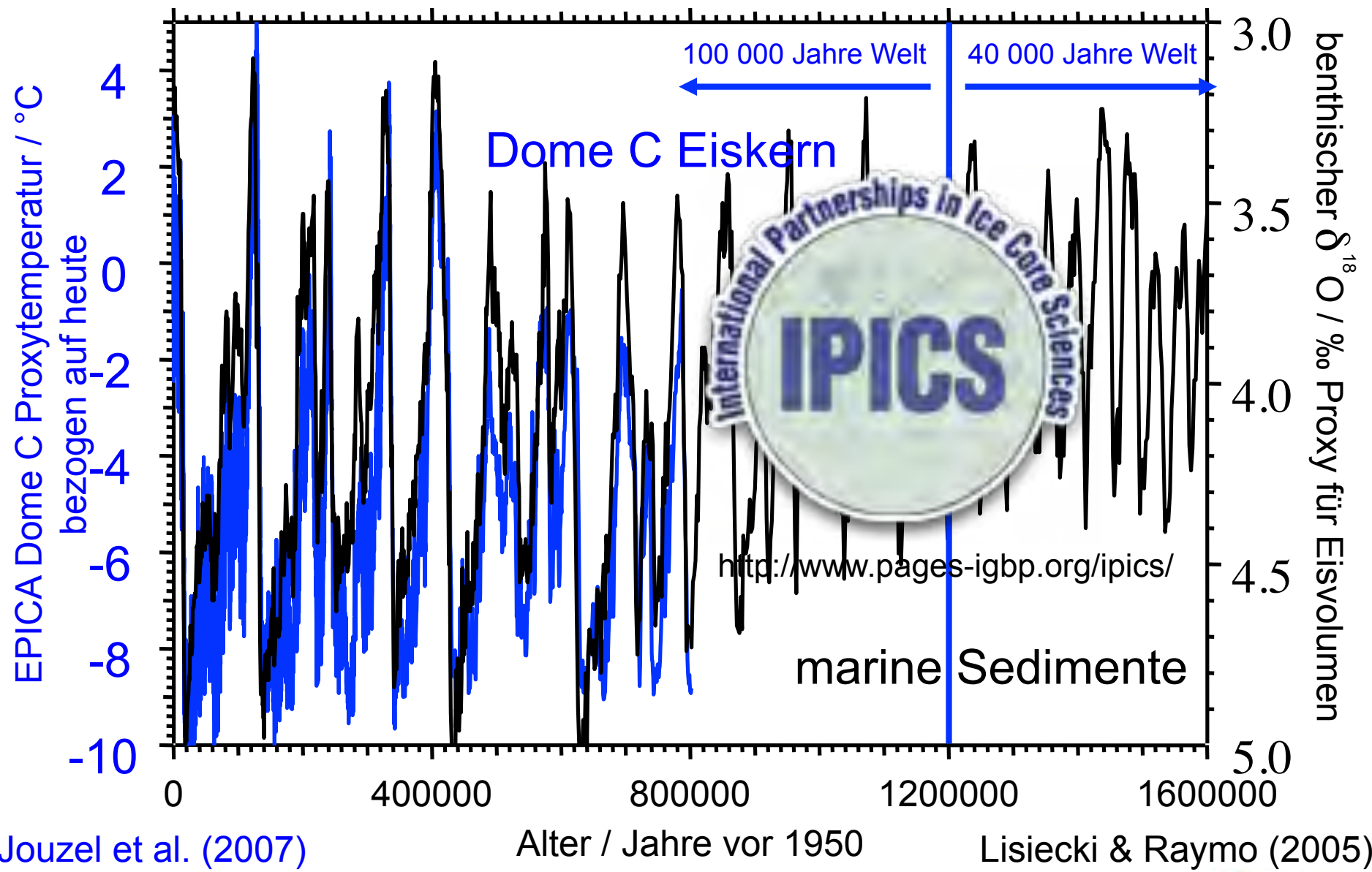
Befunde aus Sedimentkernen



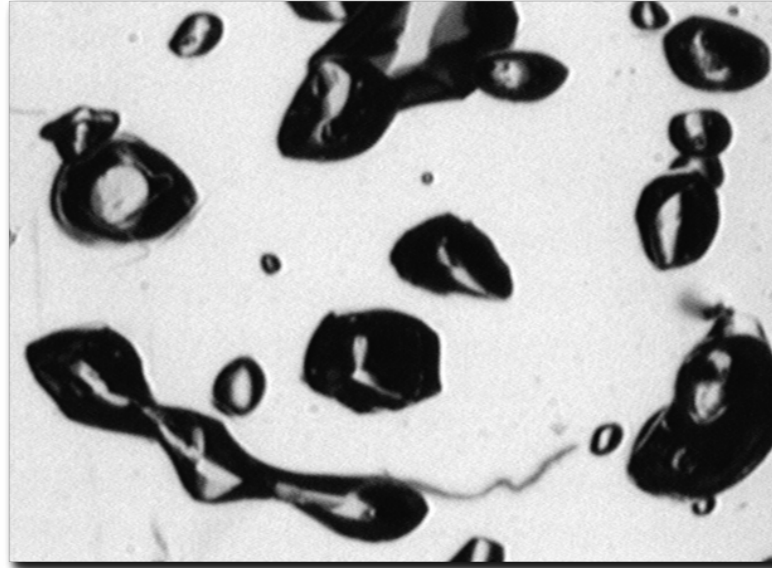
Polare Eisschilde



Ältester Temperaturproxy aus Eiskernen AWI



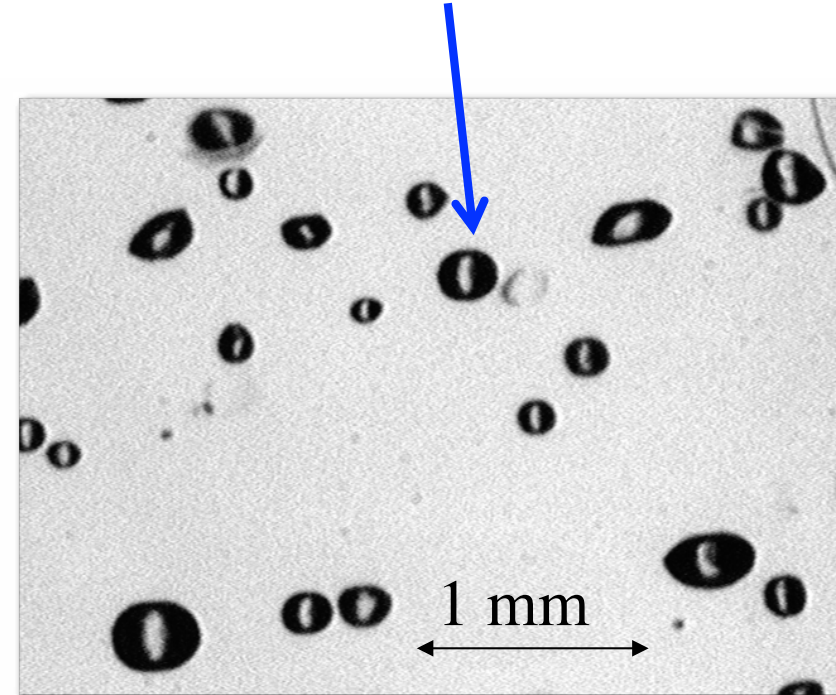
Im Eis eingeschlossene Luftblasen



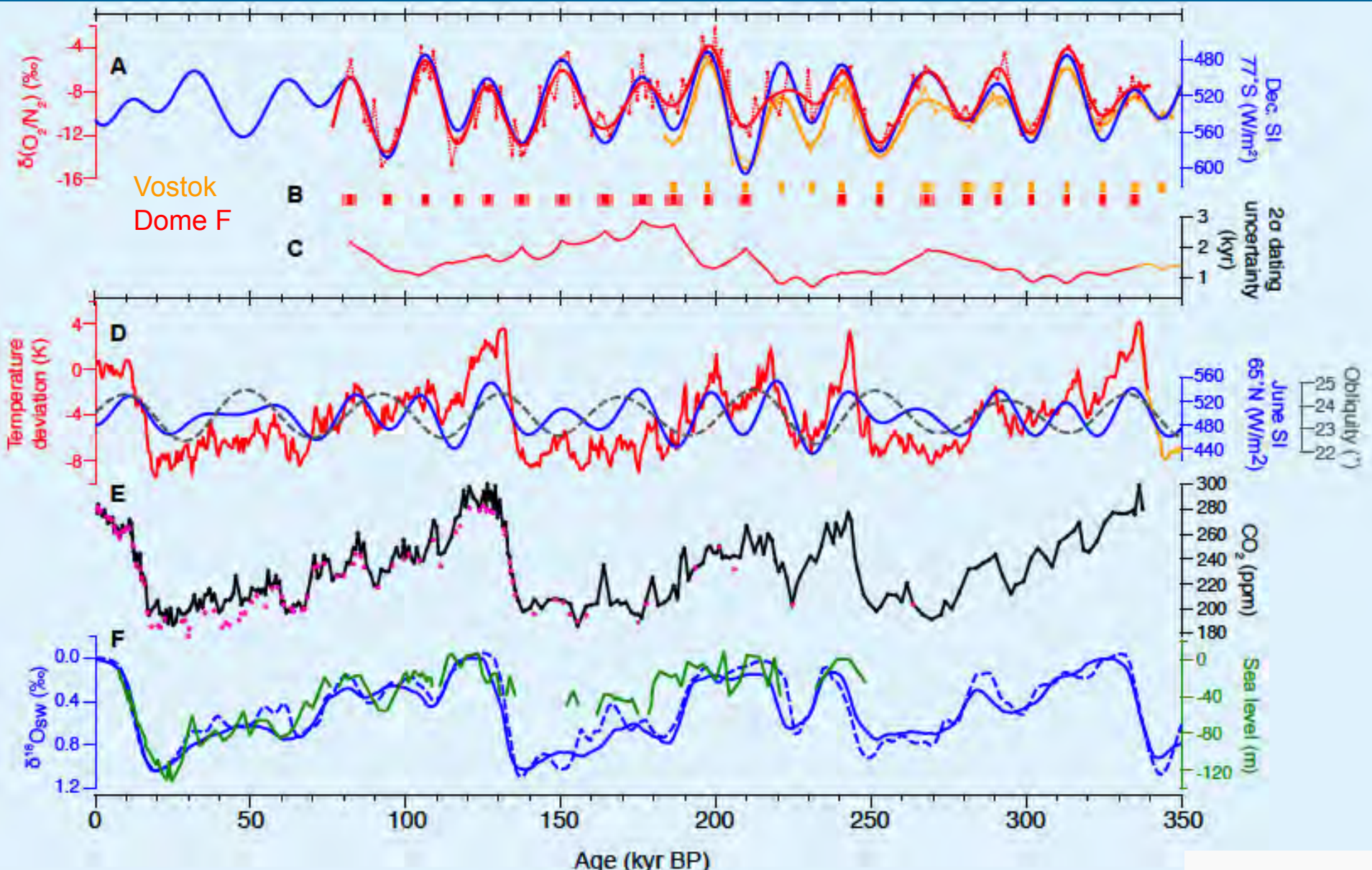
150 m

300 m

Orbitale Abstimmung von
Eiskernen basierend auf
 O_2/N_2 -Verhältnis in
Gasblasen mit lokaler
Einstrahlung im Dezember

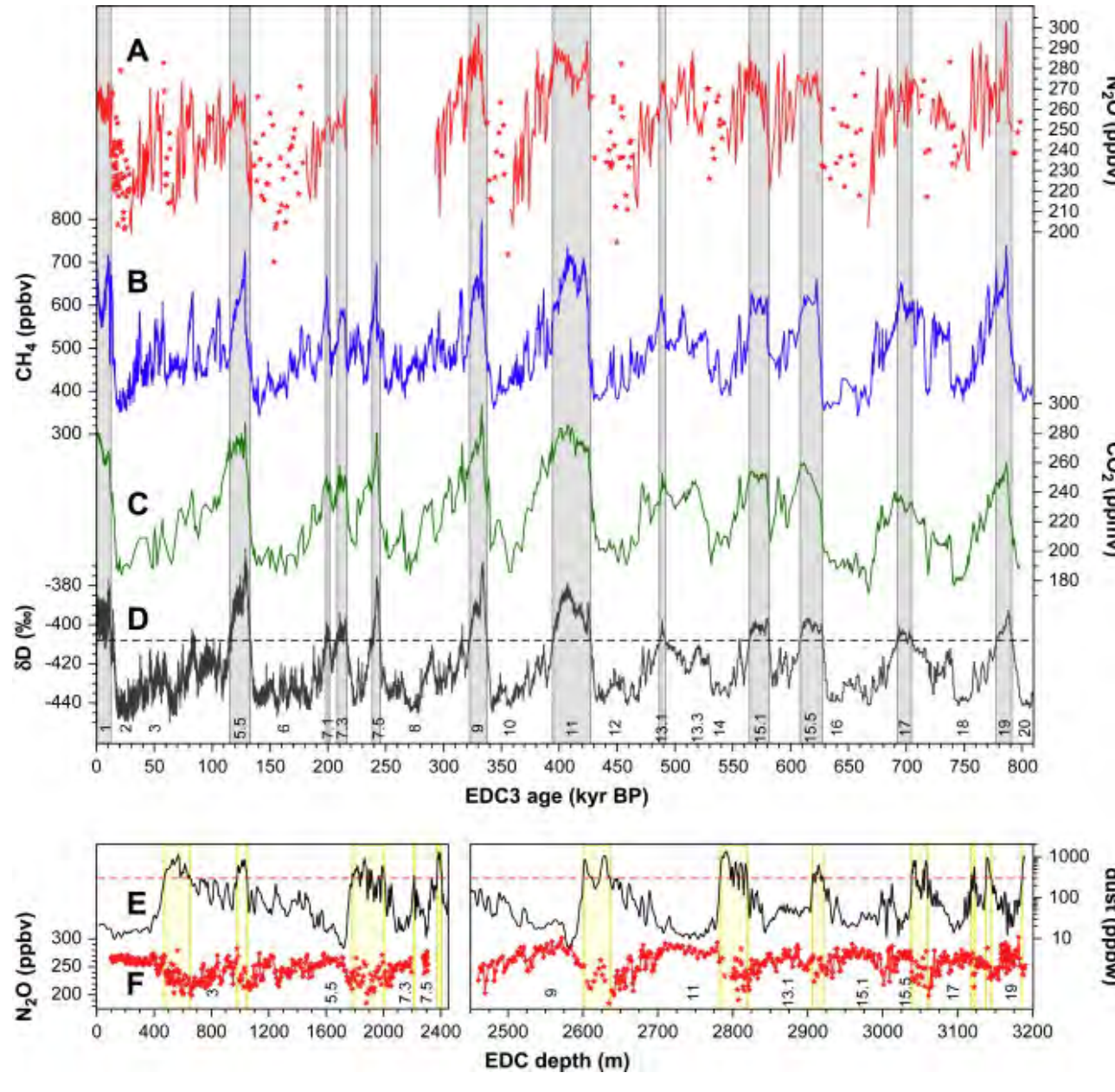


Orbitale Anpassung von Eiskernen



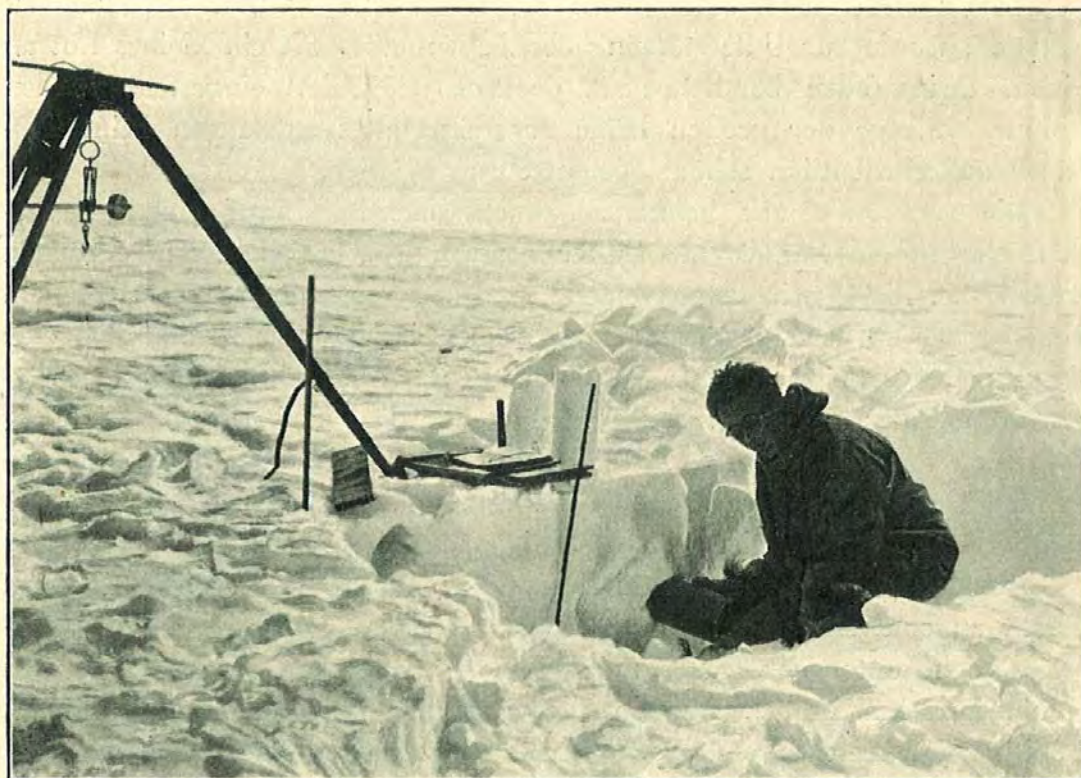
Kawamura, 2009; Kawamura et al., 2007; Suwa & Bender, 2008

800 ka Zustand der Atmosphäre



Schilt et al., QSR, 2010

Firnbeprobung: 1931 wie 1999



phot. E. Sorge.

Abb. 14. Georgi mißt Schneedichten in Eismitte mit dem Schneestecher. Links am Gestell die Laufwaage.

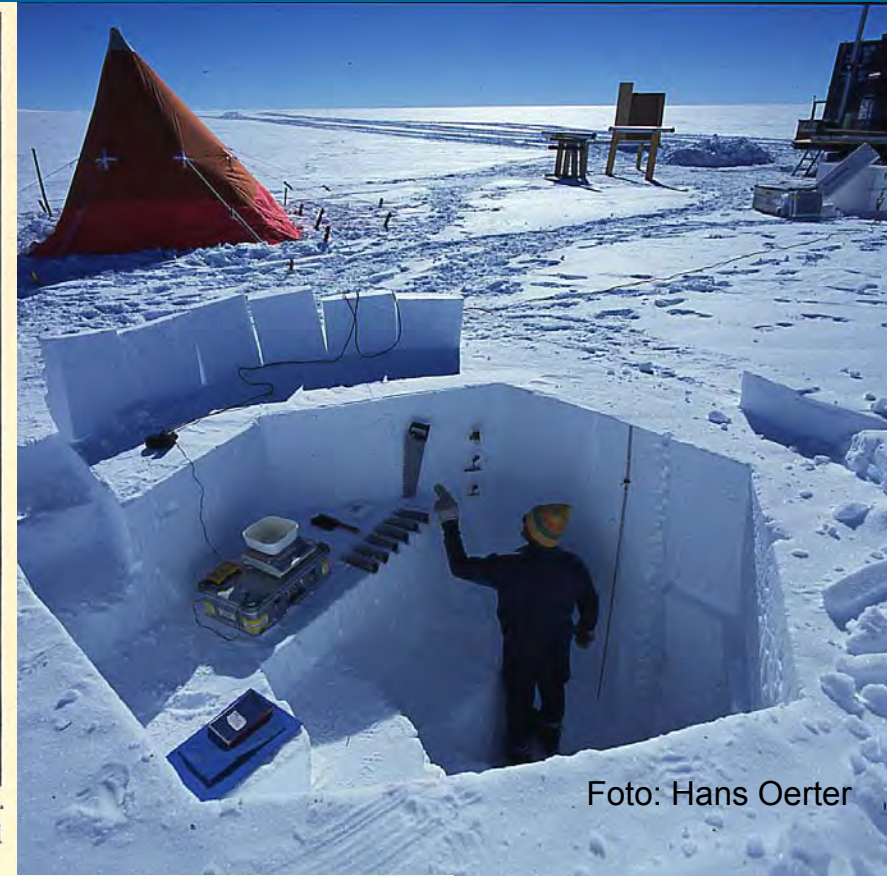
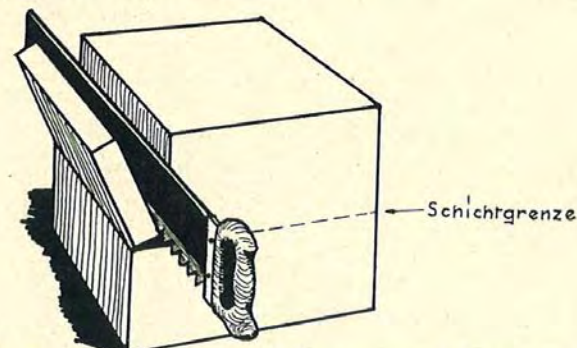


Foto: Hans Oerter



Sorge, 1935

Abb. 15. Das Abplatzen einer Firmscheibe an einer Schichtgrenze beim Sägen.

Abb. 16. Verschieden schnelles Aufsaugen von Wasser in verschiedenen Firmschichten.

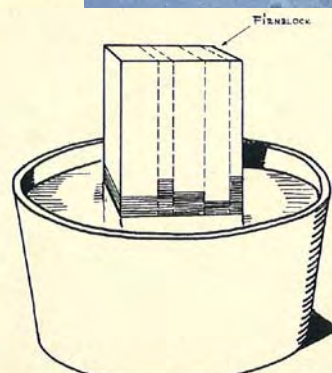


Foto: Hans Oerter

Firnschrumpfschreiber



Abb. 25.



Einige Wochen nachher



Abb. 28. Firnschrumpfschreiber.

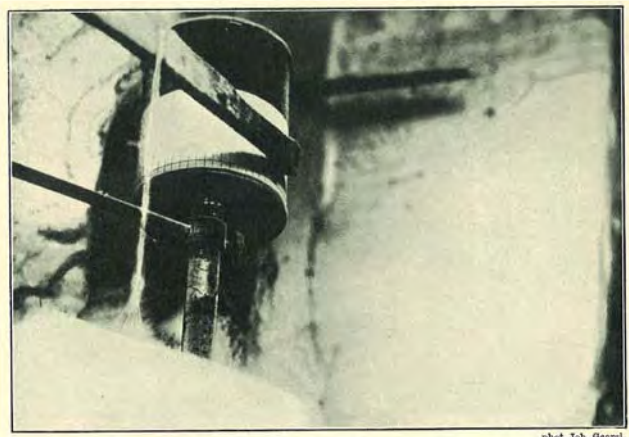


Abb. 27. Hebelende und Registriertrommel eines Firnschrumpfschreibers.

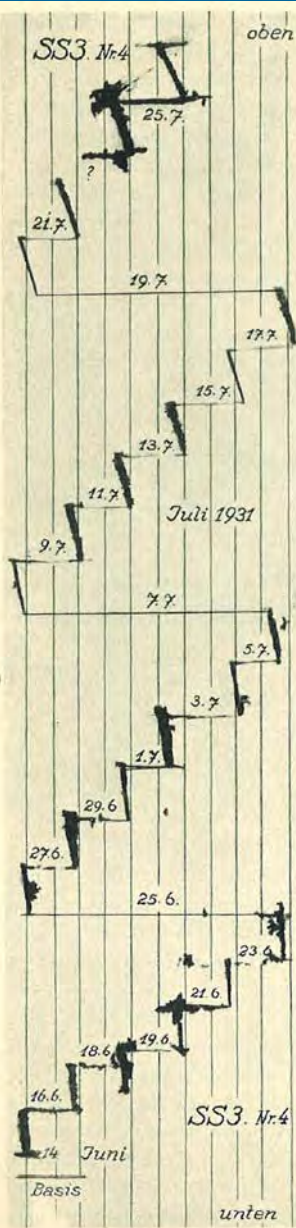


Abb. 29.

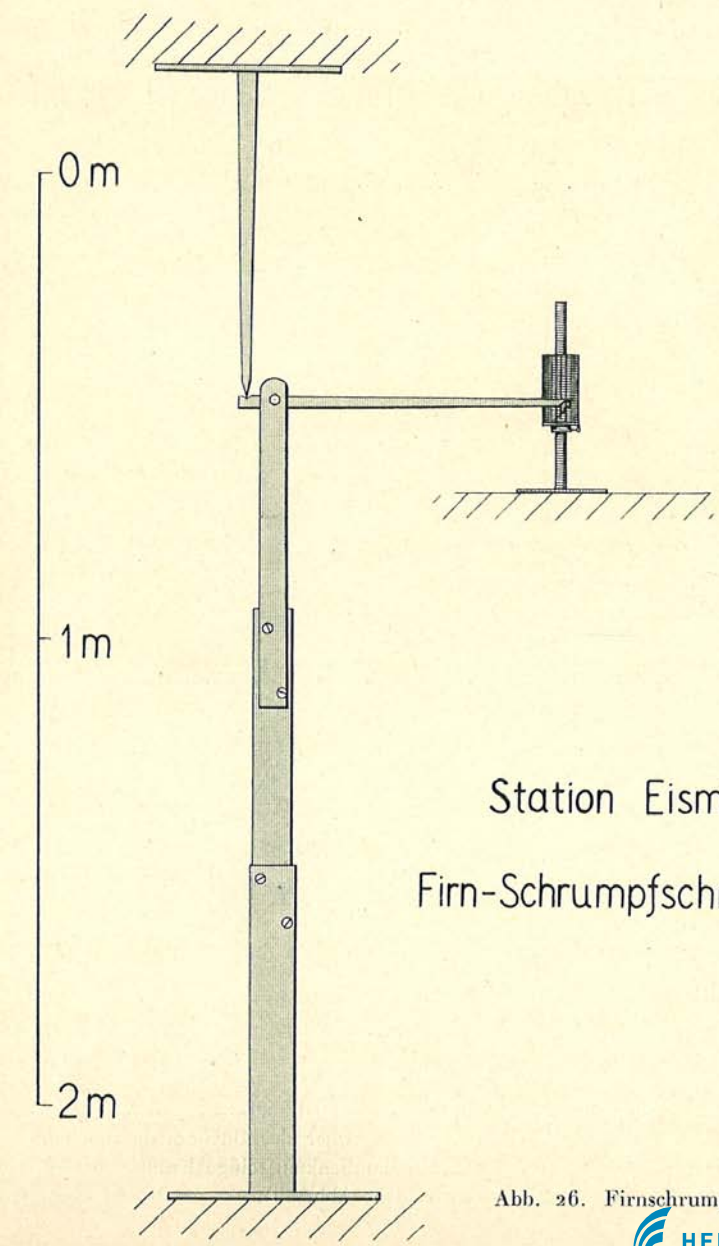
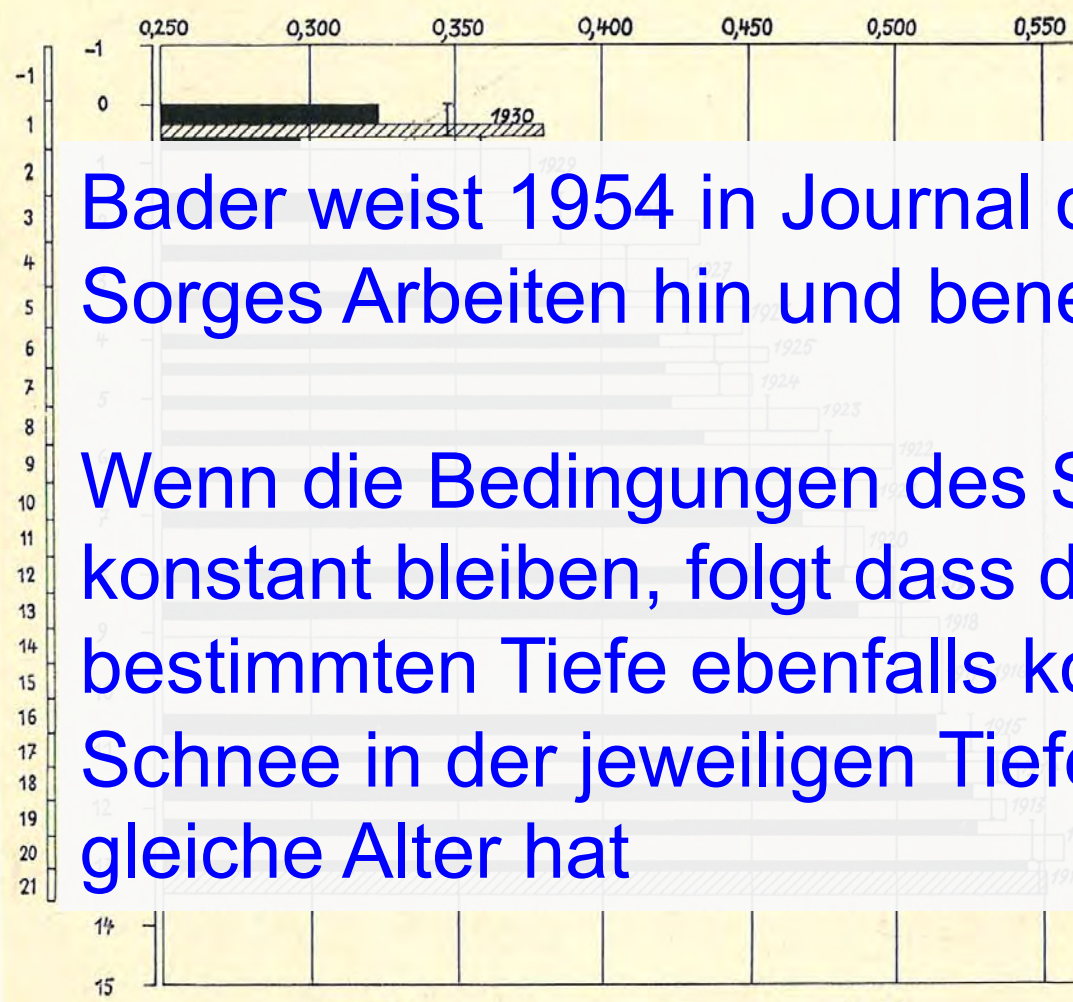


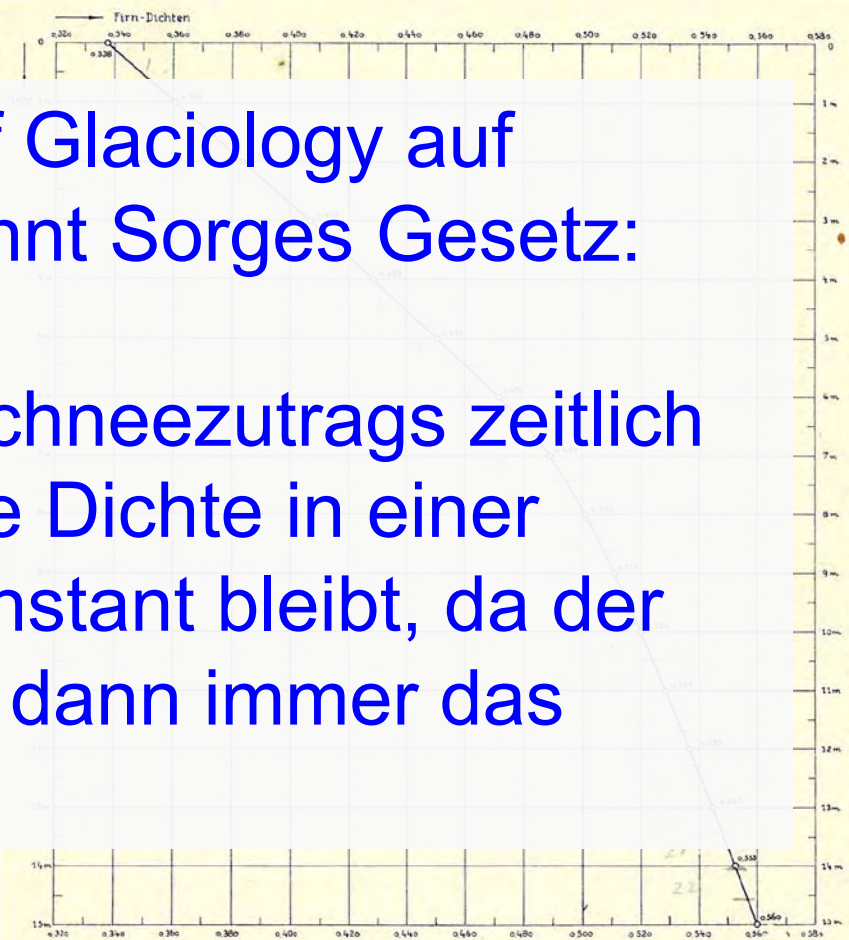
Abb. 26. Firnschrumpfschreiber.

Dichteprofile – Sorges Gesetz

Eismitte



Firndichten.



Bader weist 1954 in Journal of Glaciology auf
Sorges Arbeiten hin und benennt Sorges Gesetz:

Wenn die Bedingungen des Schneezutrags zeitlich konstant bleiben, folgt dass die Dichte in einer bestimmten Tiefe ebenfalls konstant bleibt, da der Schnee in der jeweiligen Tiefe dann immer das gleiche Alter hat

Sorge, 1935

Neue Probenahmetechnik



Verdichtung & Lufteinschluss

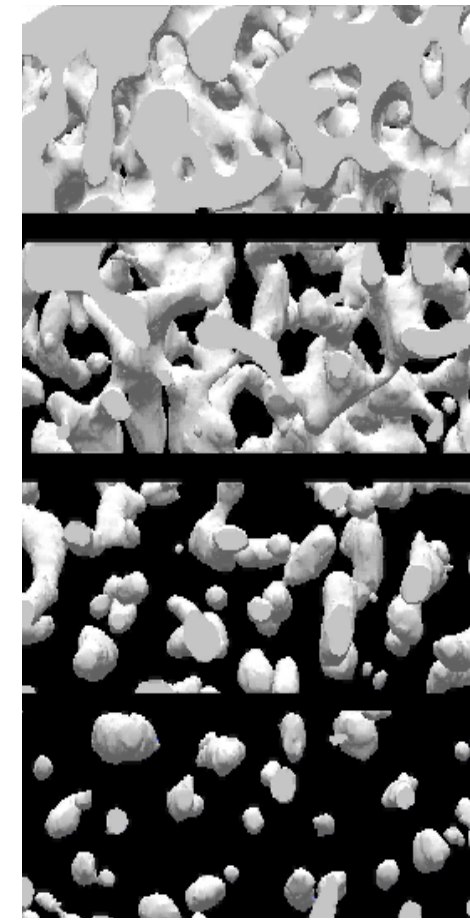
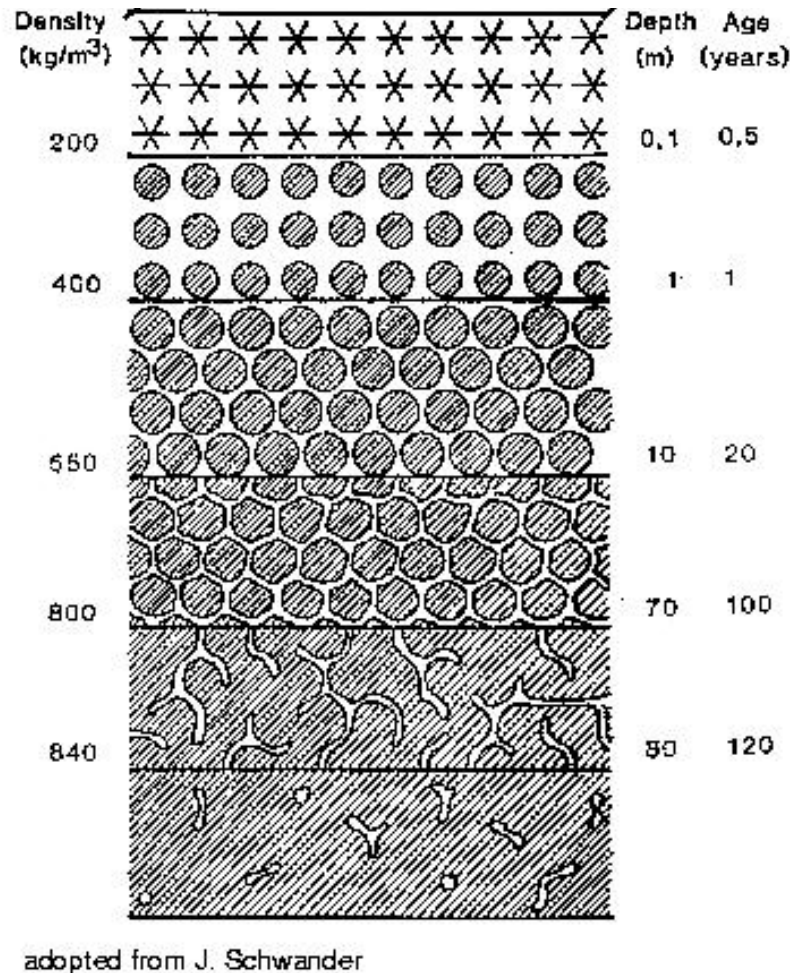
Röntgen-
Computer-
tomographie

10 m

40 m

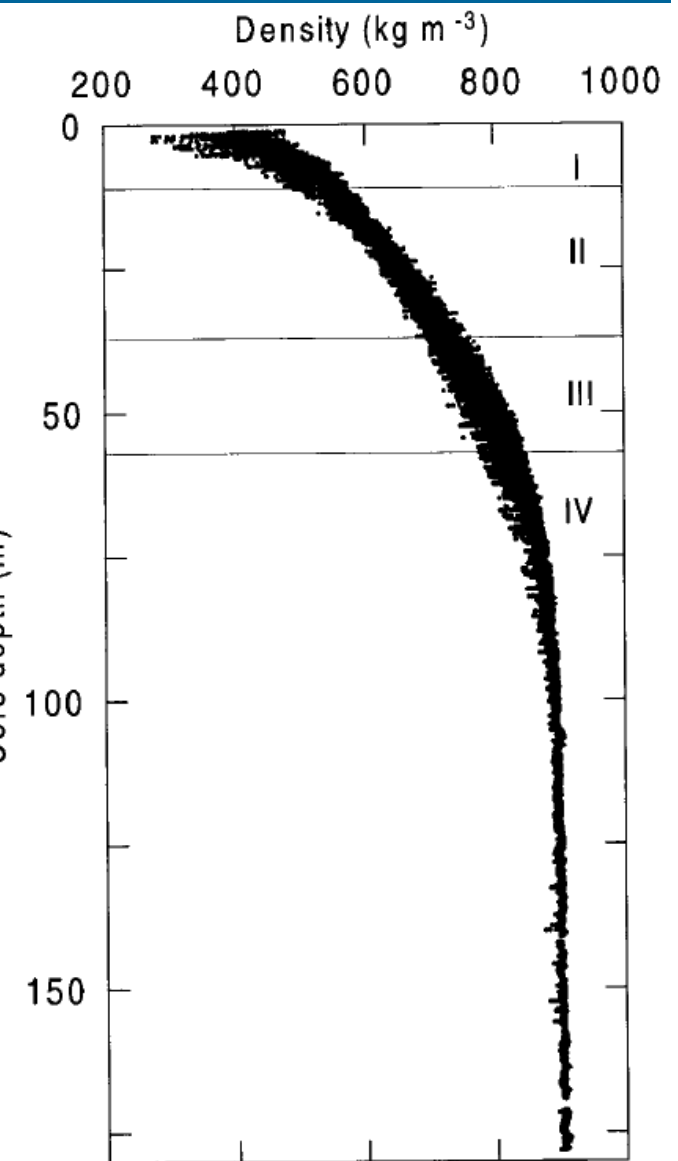
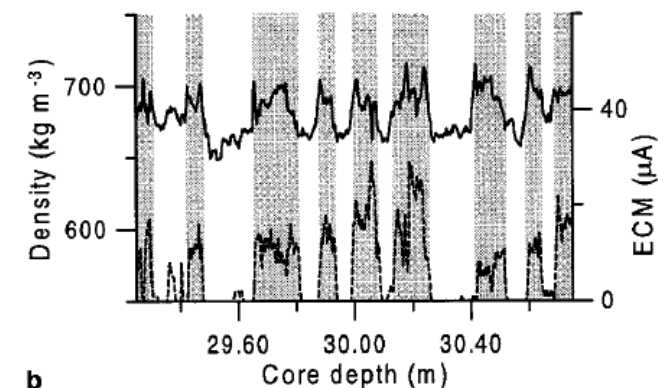
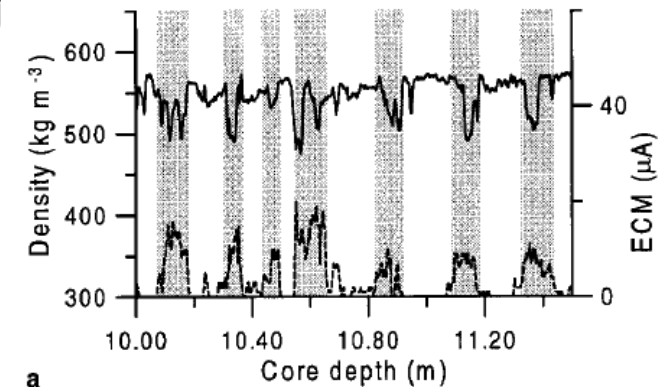
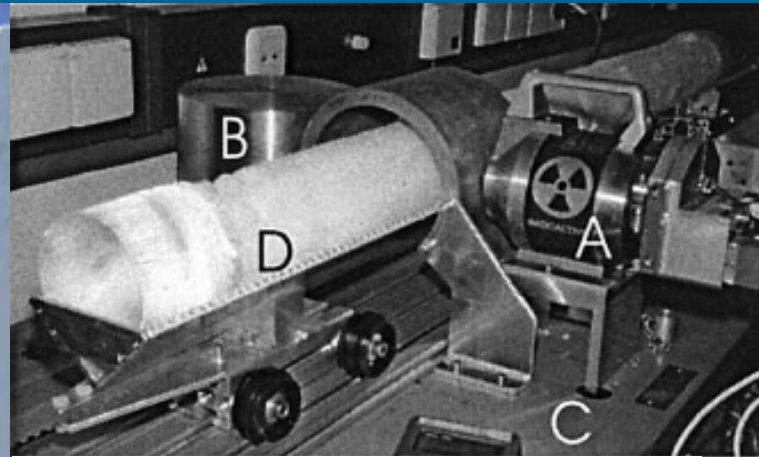
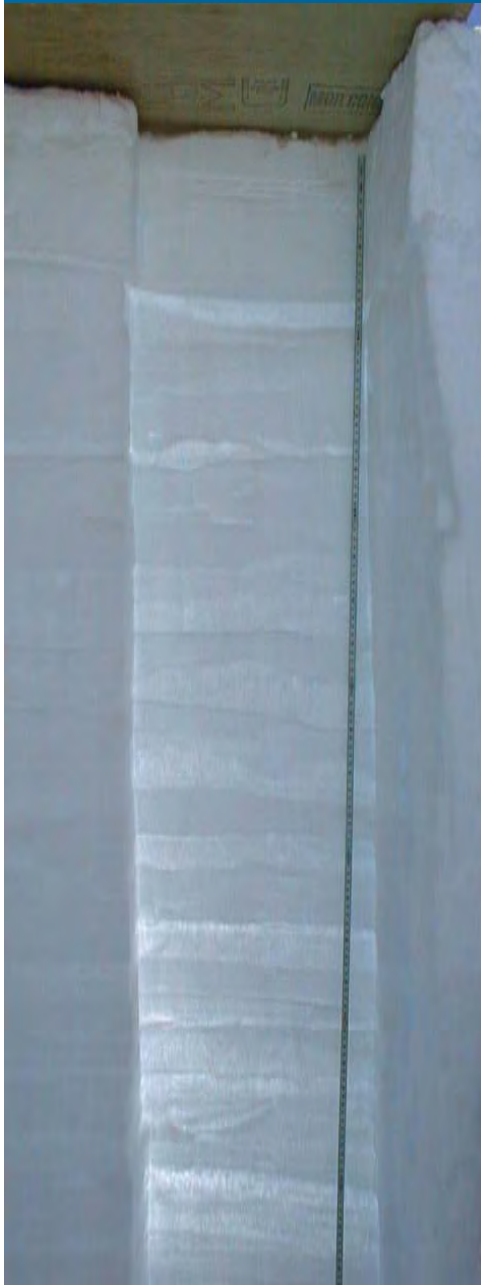
70 m

100 m



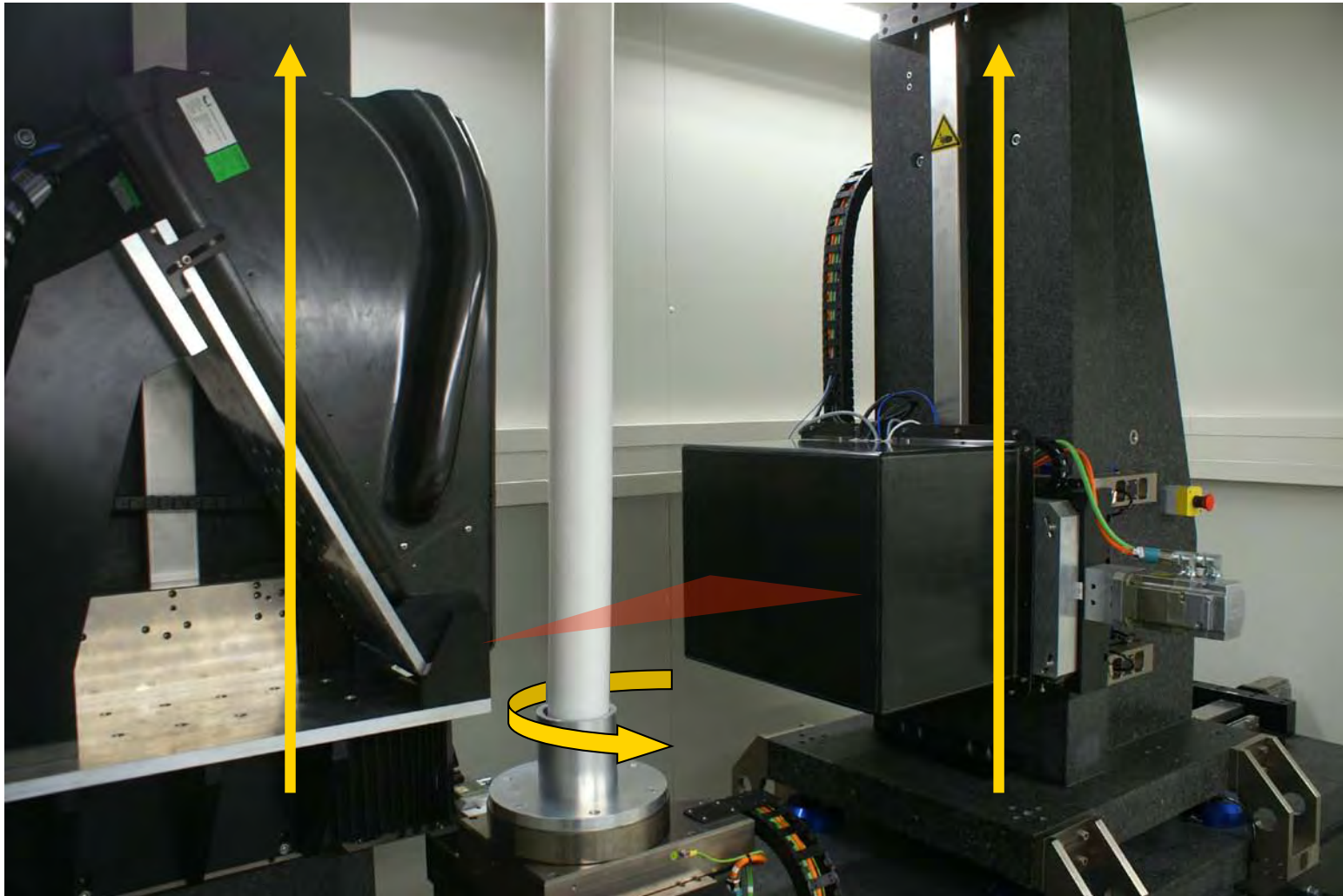
Freitag, Wilhelms, Kipfstuhl, 2004

Verdichtung von Schnee zu Eis



Gerland et al, 1999

Neuer CT zur Erfassung ganzer Kerne

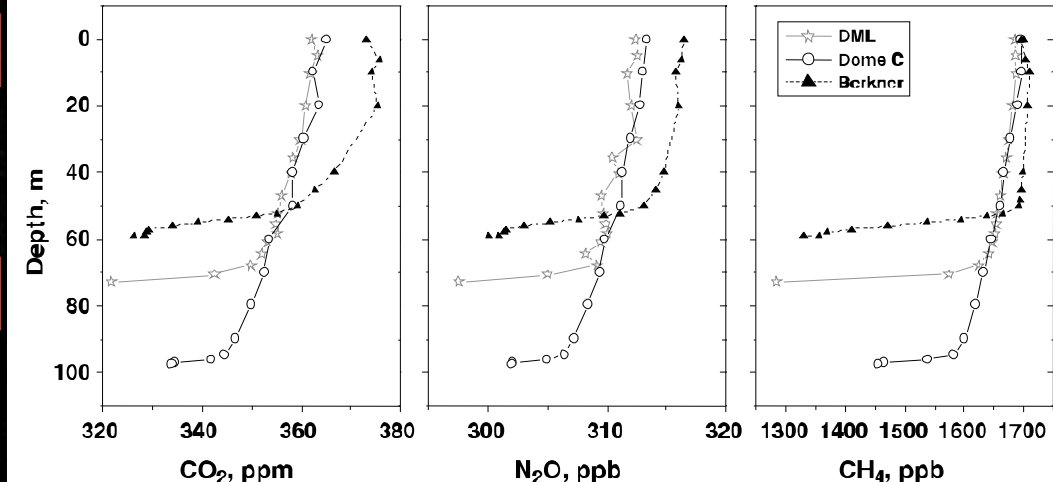
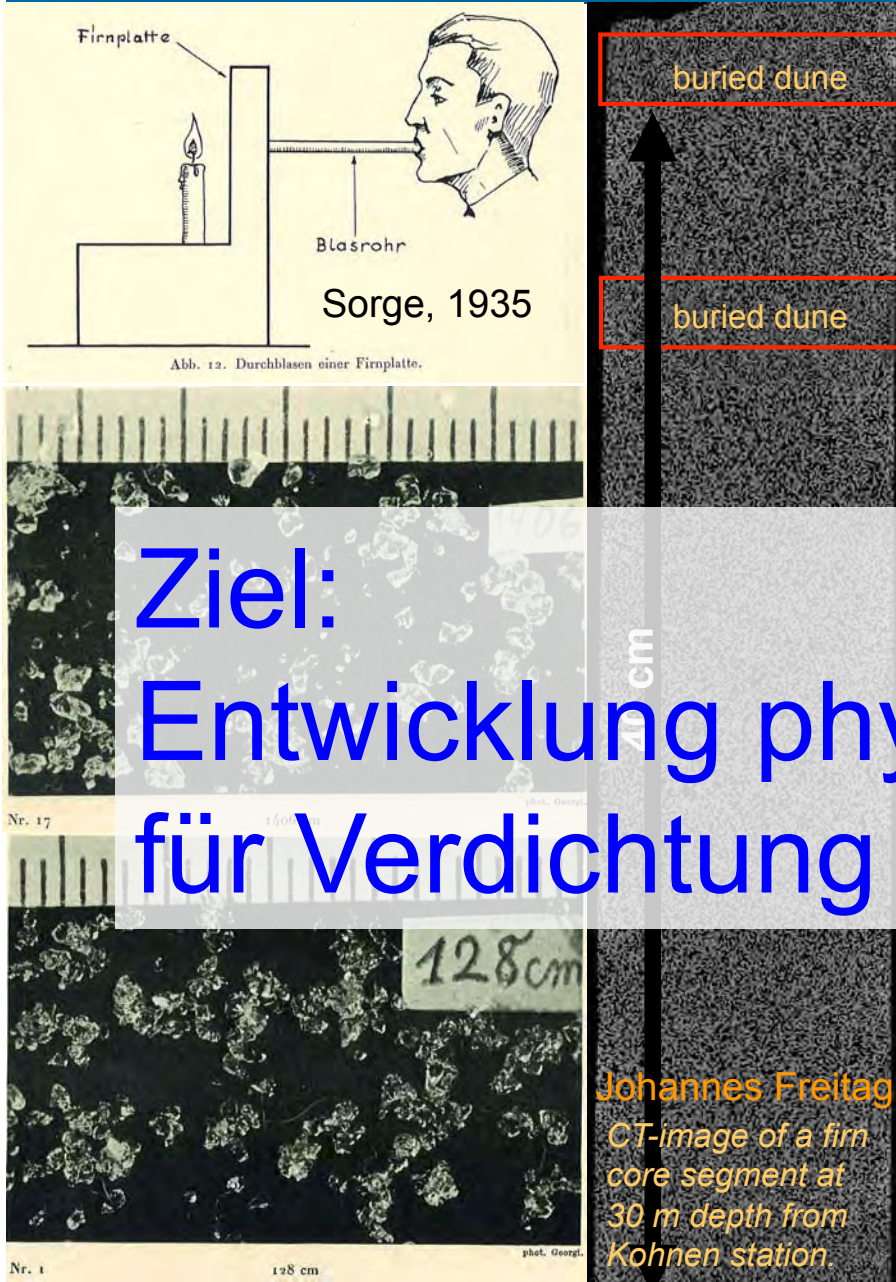


Röntgenquelle
bis zu 10 μm Auflösung am vollen Kern

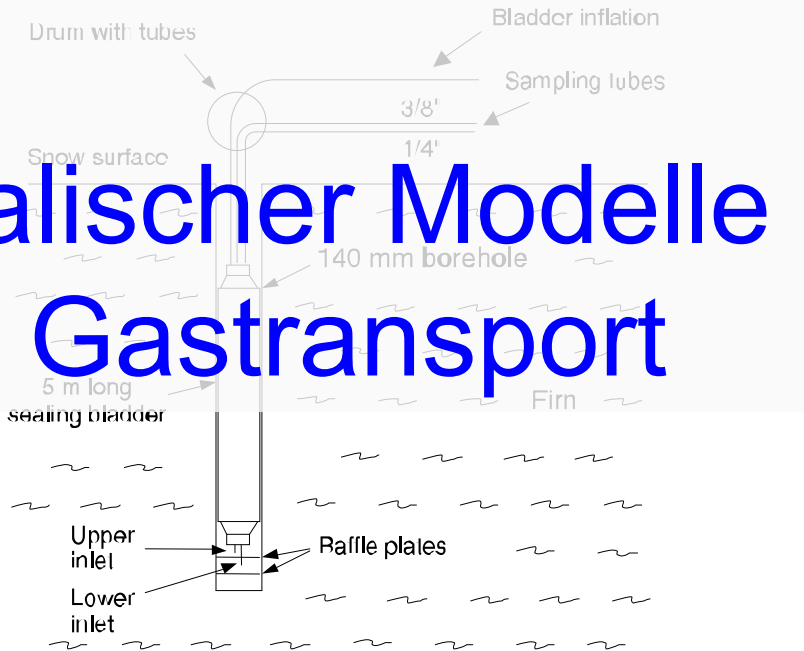
Detektor

Johannes Freitag

Firnstruktur & Gastransport

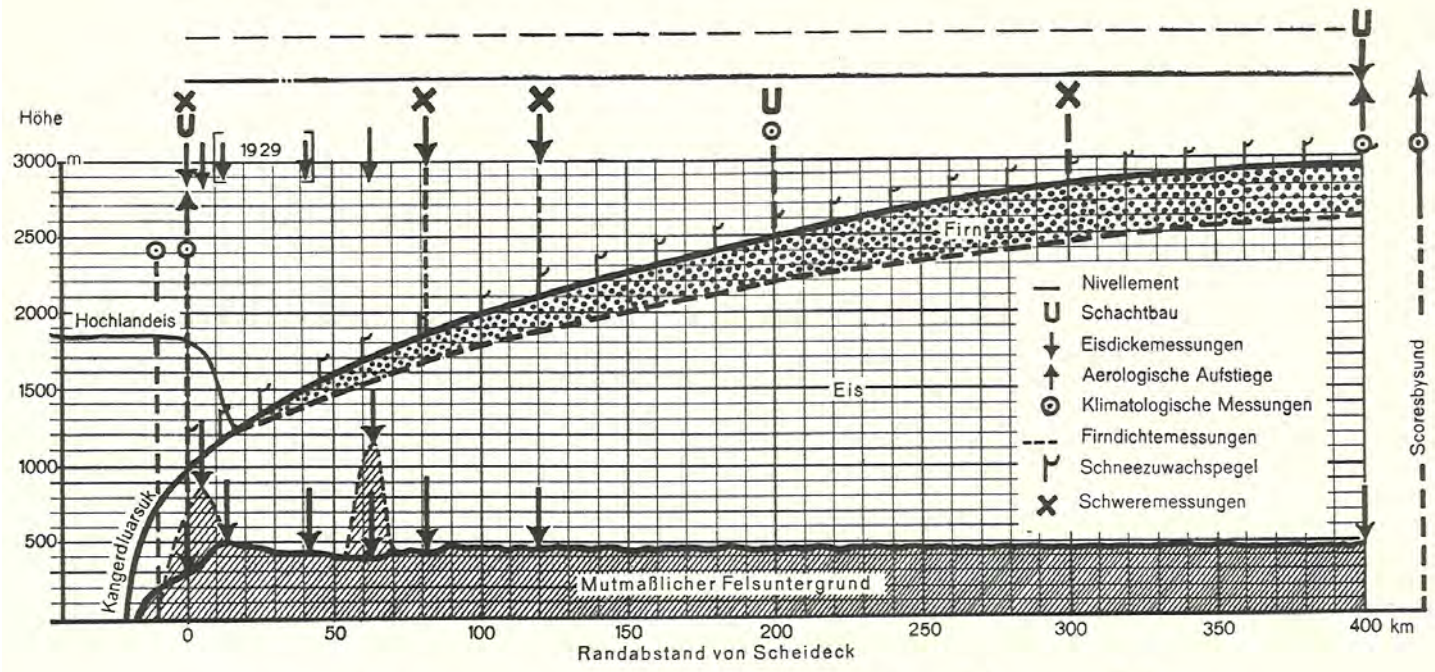


Ziel:
Entwicklung physikalischer Modelle
für Verdichtung und Gastransport



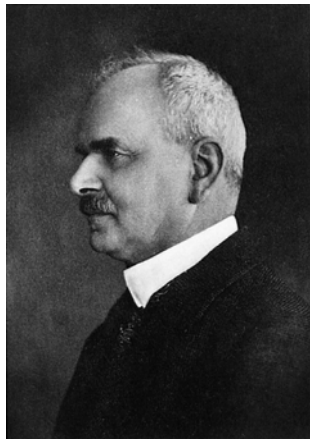
Assonov et al., 2005

Eisdickenmessungen



Höhenprofil und Übersicht über die wissenschaftlichen Arbeiten auf dem Inlandeis von F. Loewe.

Seismik als neue Methode



Meinardus, Wilhelm,
Geograph, Meteorologe,
* 14.7.1867 Oldenburg,
† 28.8.1952 Göttingen.

↑
beriet bei
Doktorarbeit



Vladimir Köppen



Ludger Mintrop
Geophysiker, Seismik
* 18. Juli 1880 in Werden
an der Ruhr (heute Essen)
† 1. Januar 1956 in Essen

Doktorvater
←



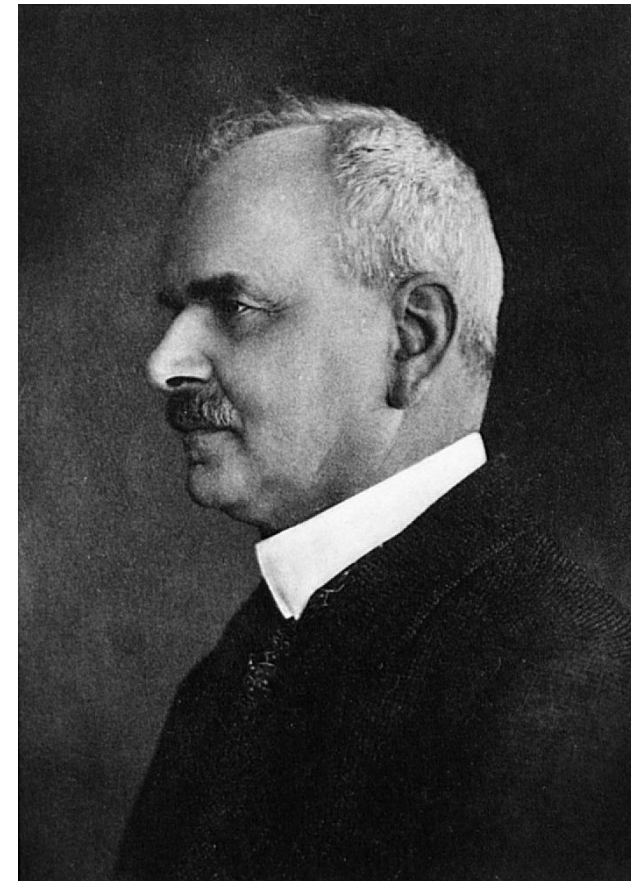
Emil Wiechert
Physiker, Seismologe
* 26. Dezember 1861 Tilsit,
Ostpreußen
† 19. März 1928 Göttingen



Bernhard Brockamp
Geophysiker, Polarforscher
* 18. Oktober 1902 Osnabrück
† 20. Dezember 1968 ebenda

Doktorvater
←

Gelegenheit nach Grönland zu kommen AWI



Meinardus trägt Wegener Ostern 1928 Leitung einer kleinen Unternehmung einer Sommerreise nach Grönland zur Eisdickenmessung an

Seismische Erkundungen



Verfahren zur Ermittlung des Aufbaus von Gebirgs- schichten

DEUTSCHES REICH



AUSGEGEBEN
AM 23. MÄRZ 1923

REICHSPATENTAMT
PATENTSCHRIFT

— № 371963 —
KLASSE 421 GRUPPE 13
(M 67653 IX/421)



Dr. Ludger Mintrop in Bochum.

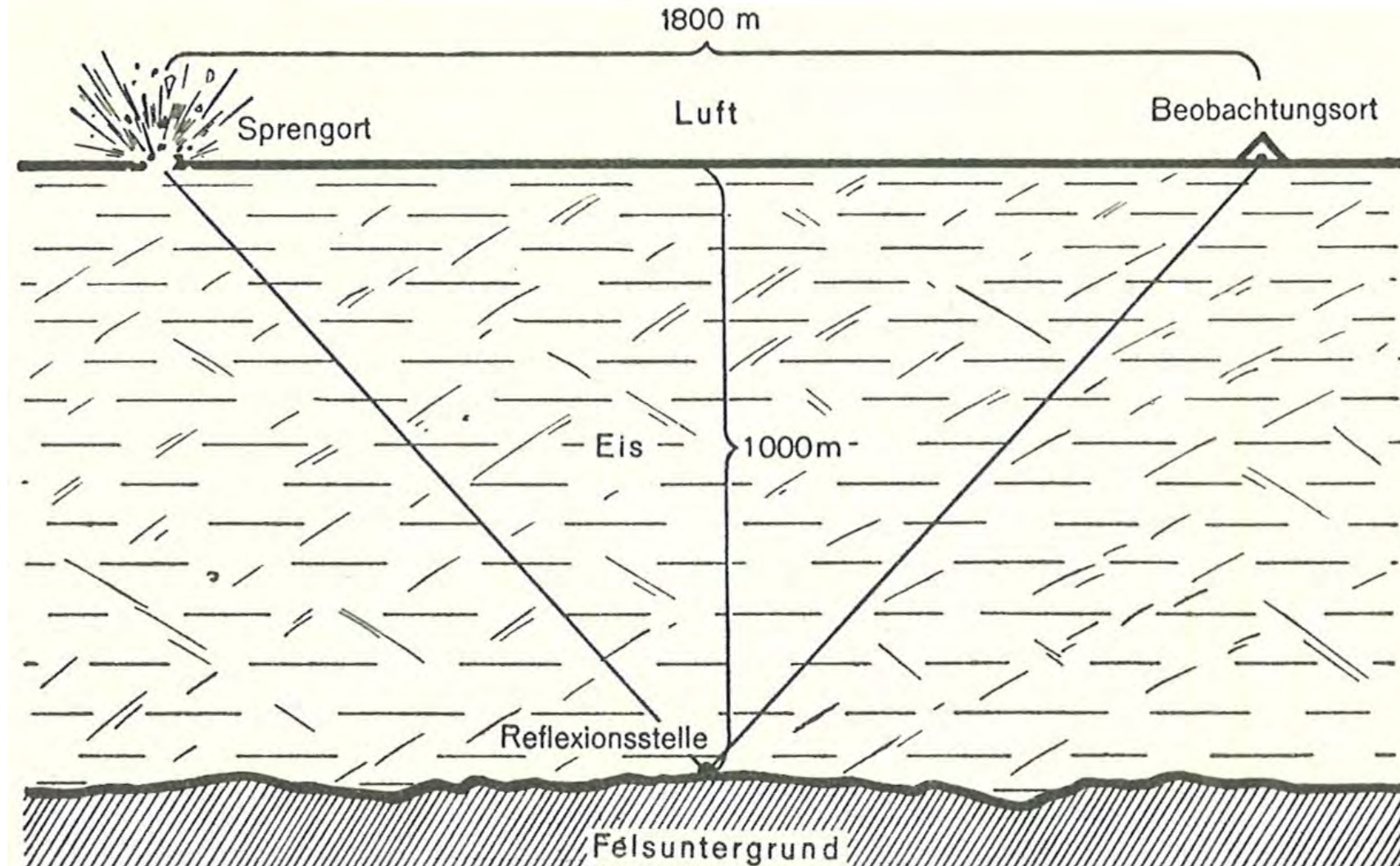
Verfahren zur Ermittlung des Aufbaus von Gebirgsschichten.

Patentiert im Deutschen Reich vom 7. Dezember 1919 ab.

7. Dezember 1919

<http://wwwuser.gwdg.de/~msieber/erdbebenwarte>
<http://www.depatis.de>

Eisdickenmessung – Prinzip



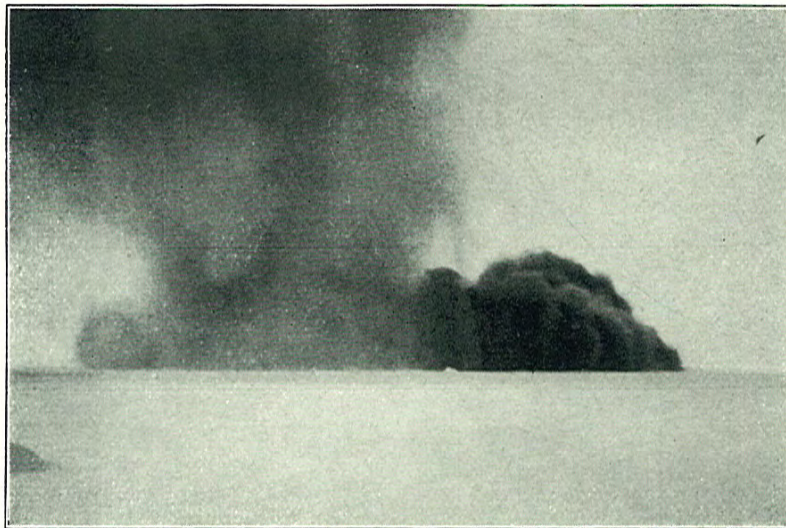
Methode der Eisdickenmessung (schematisch).

Seismische Anregung



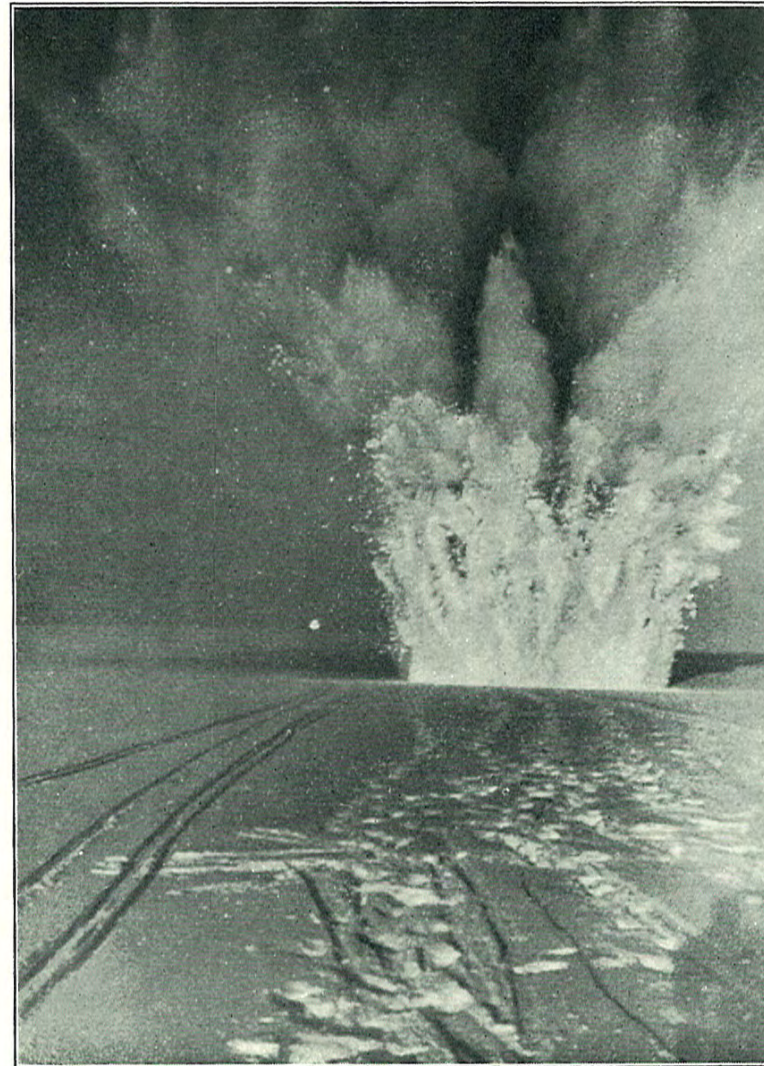
Aufnahme Schiff

Sprengtrichter von 73 kg Trinitrotoluol in „Eismitte“.
Seite 213.



Aufnahme Herdemarken

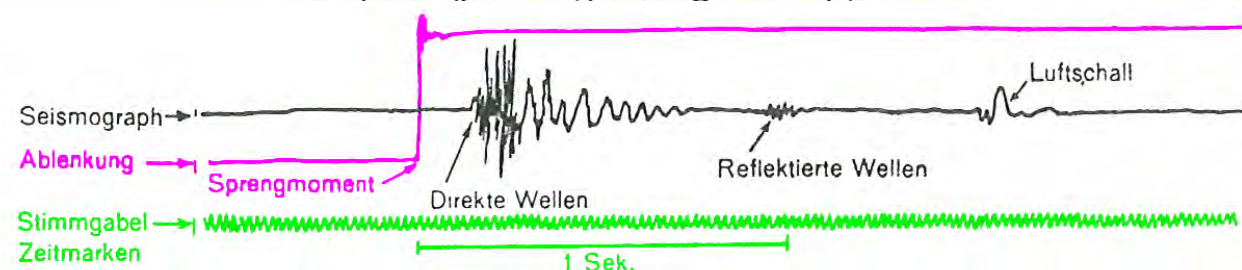
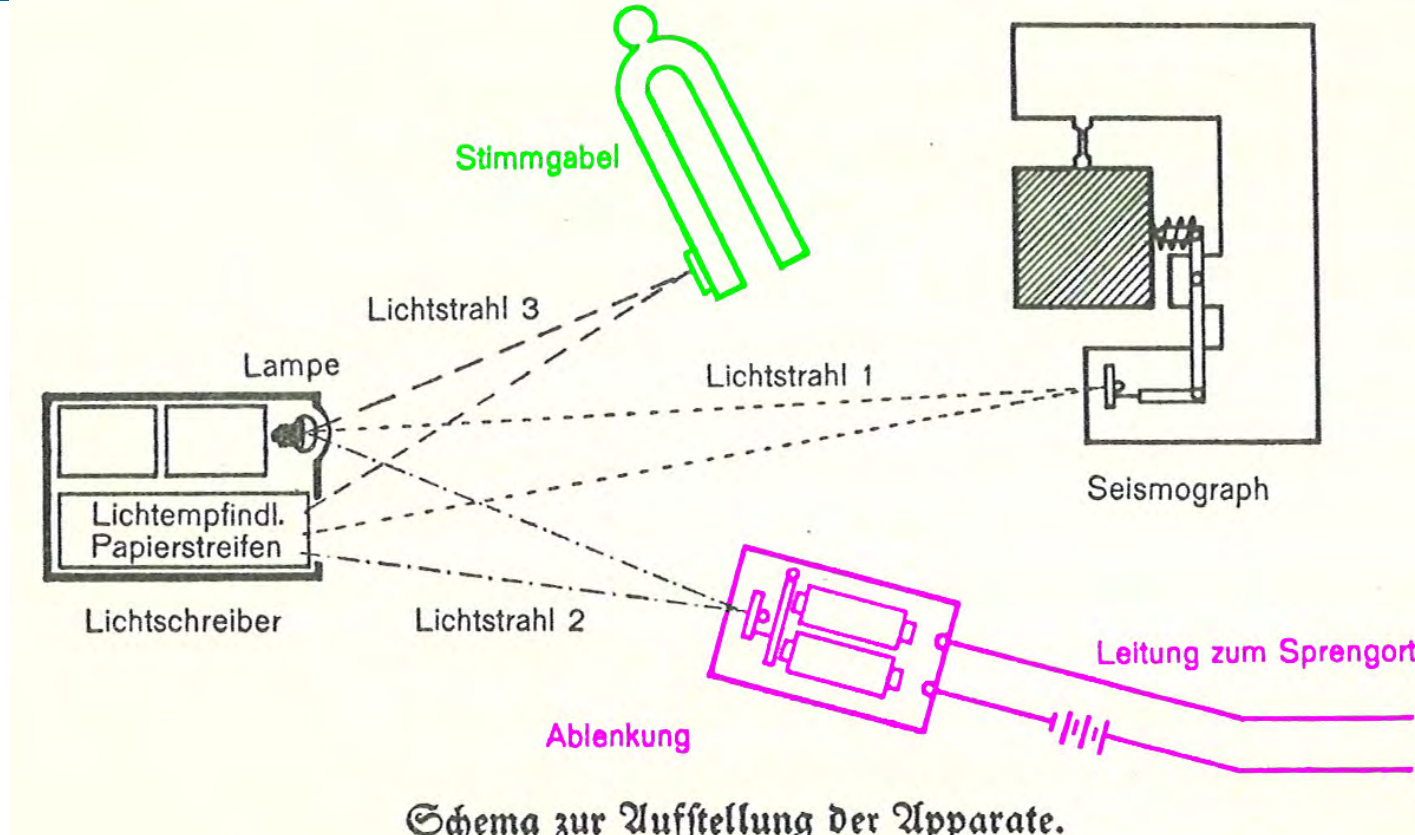
Eissprengung zur Messung der Eisdicke.
Seite 225.



Aufnahme Schiff

Sprengung mit 73 kg Trinitrotoluol.
Seite 213.

Seismische Aufnahme



Sprengladung 23,5 kg
Sprengentfernung 500 m

Seismogramm zur Eisdickenbestimmung von der Station km 120.

Seismische Aufnahme



Aufnahme Georg
Sorge baut die Instrumente für Eisdickenmessung in „Eismitte“ auf.
Seite 212.



Aufnahme Herdemerten

An der Apparatur.
Seite 225.



Aufnahme Herdemerten

Dunkelzelt im Schnee.
Seite 220.

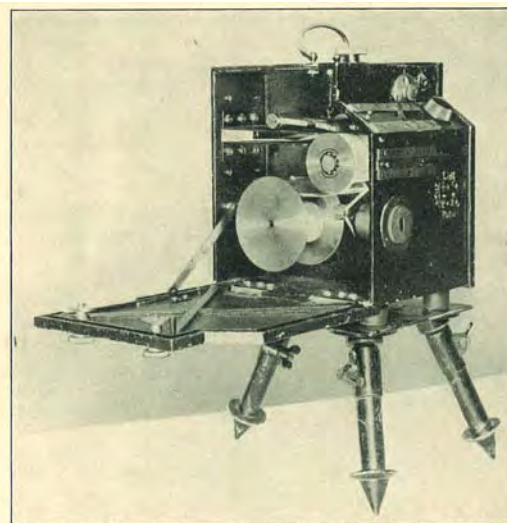


Fig. 6. Registrierapparat,
hergestellt bei der Firma G. Bartels, Göttingen.

Seismographen

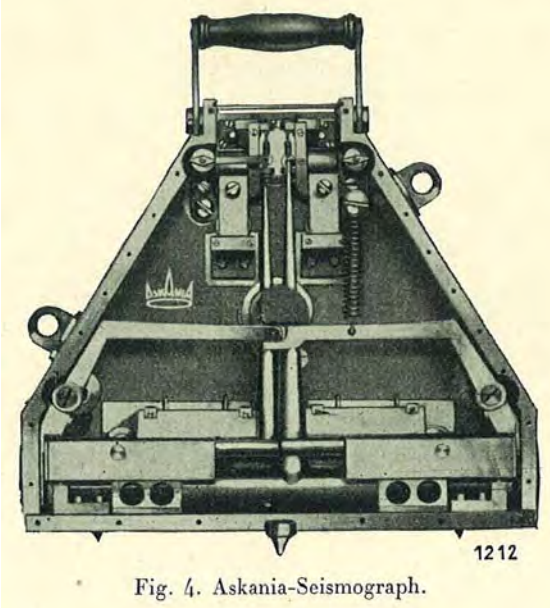


Fig. 4. Askania-Seismograph.

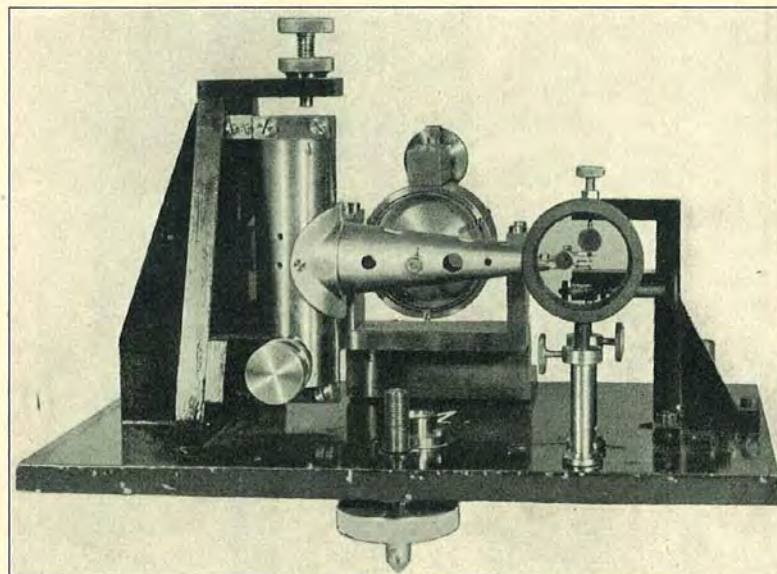


Fig. 5. Horizontal-Seismograph nach G. Angenheister,
hergestellt in der Werkstatt des Geophysikalischen Institutes, Göttingen.

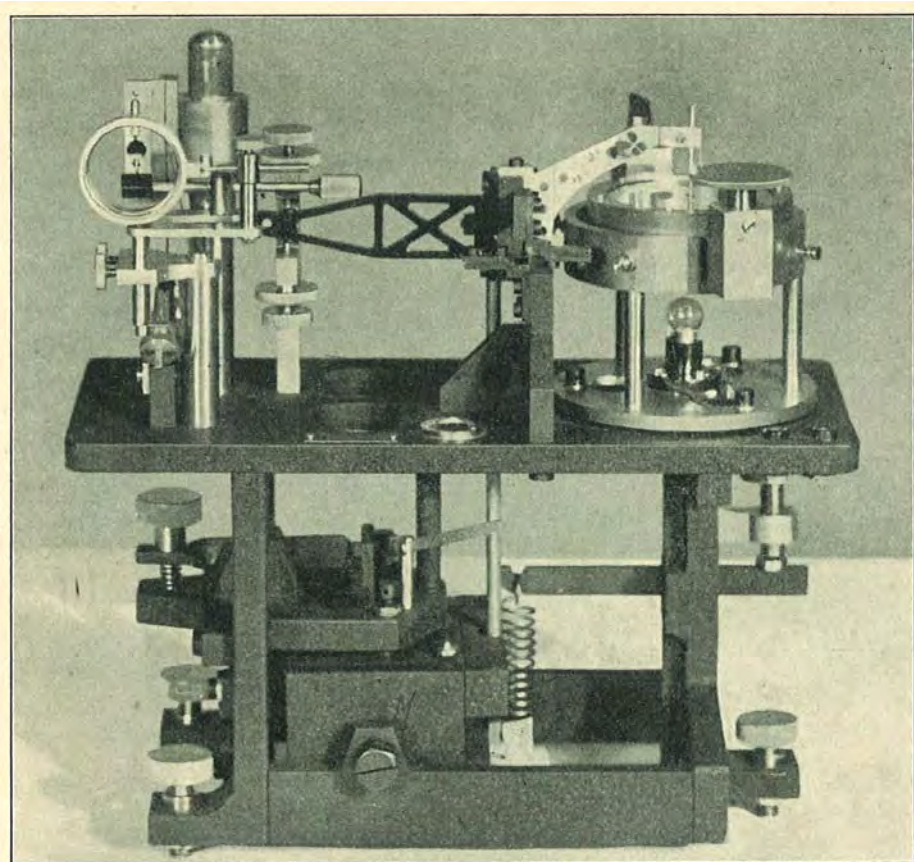


Fig. 3. Vertikal-Seismograph nach E. Wiechert,
hergestellt von der Firma G. Bartels, Göttingen.



Aufnahme Kellbl

Weiken und Zülg bei der Schweremessung.
Seite 238.



Aufnahme Kellbl

Ortsbestimmung des Winterhauses.
Seite 234.



Aufnahme Kellbl

Weiken am Schlitten für Höhenmessung.
Seite 235.



Aufnahme Weilen

Der fertige Standpunkt ist mit Flagge und Schneemann gekennzeichnet. Am Schlitten das Mehrad. Seite 235.

Programm im Umfeld einer Tiefbohrung AWI



Foto: Hannes Grobe

Weitere seismische Erkundung

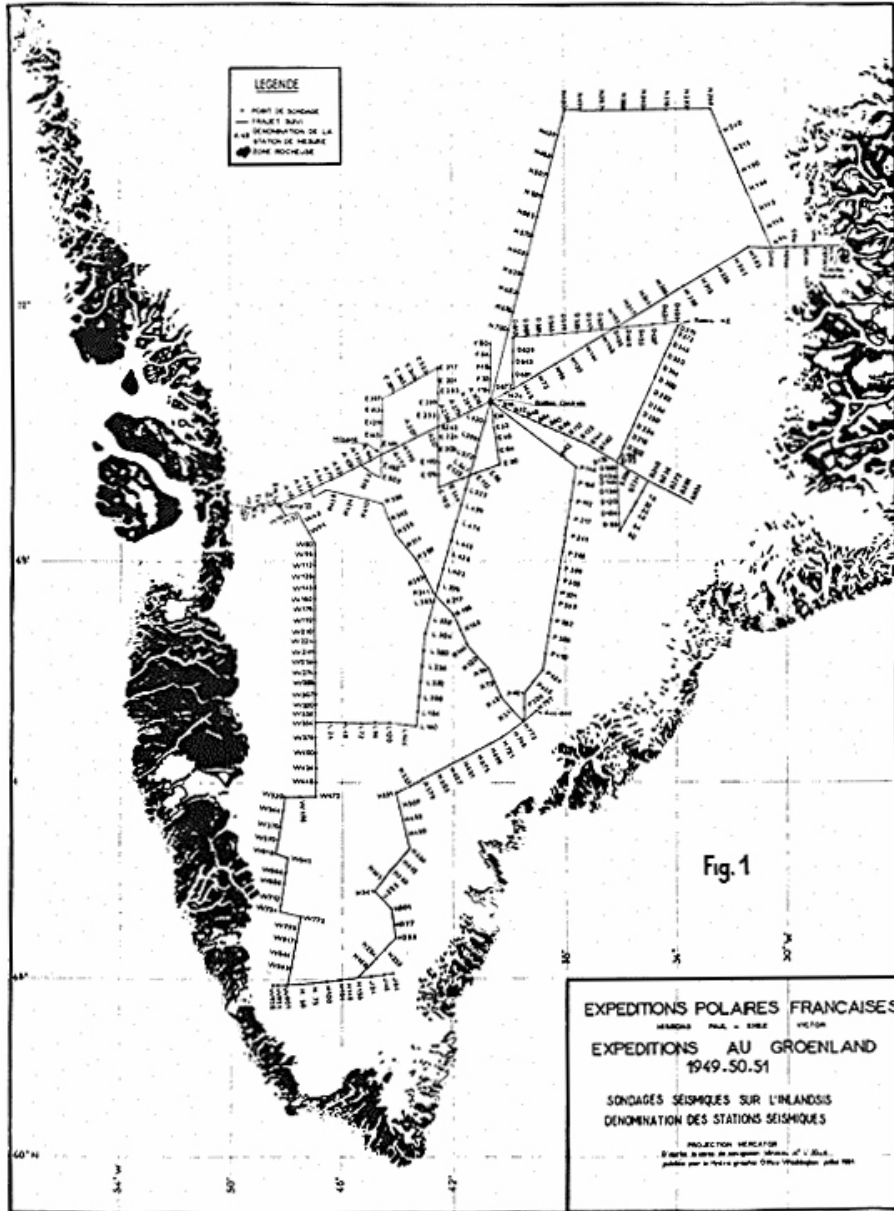


Fig. 1. Seismic surveylings of the Expéditions Polaires Françaises 1949-51.
(Holtzscherer 1954).

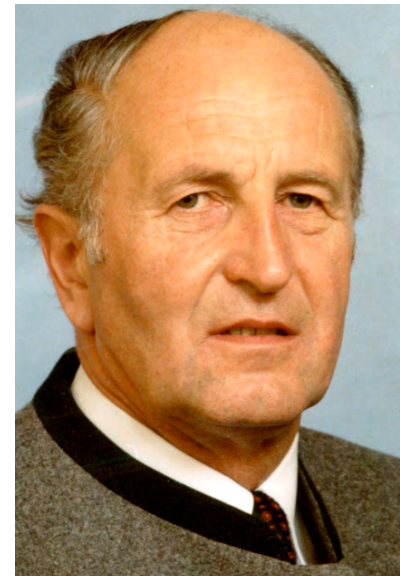


Paul-Émile Victor
Polarforscher, Ethnologe,
Schriftsteller

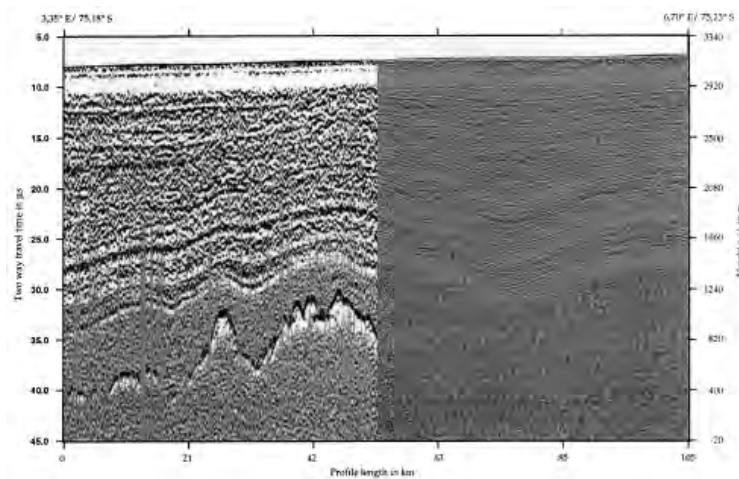
* 28. Juni 1907 in Genf
† 7. März 1995 in Bora Bora
Bild: www.polarforschung.de

Expedition Glaciologique
Internationale au Groenland
(EGIG)

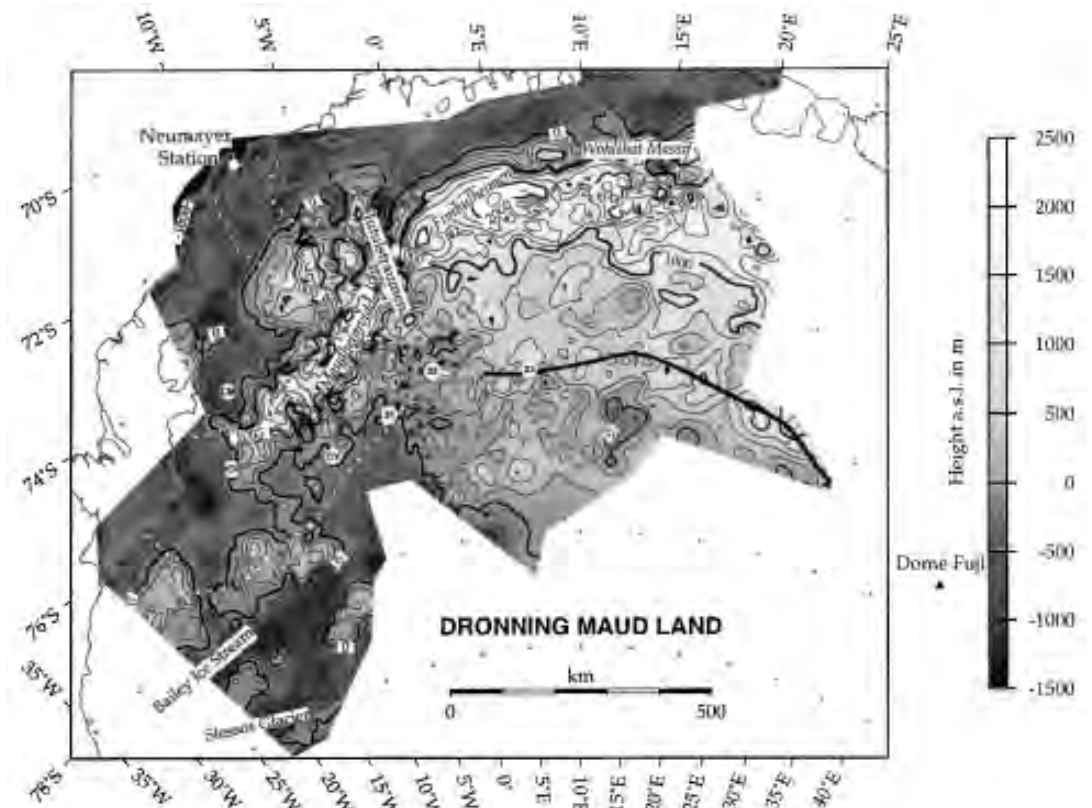
Dr. Oskar Reinwarth
EGIG I
April 1959 – September 1960



Kartierung der Eisschilde mit Radar

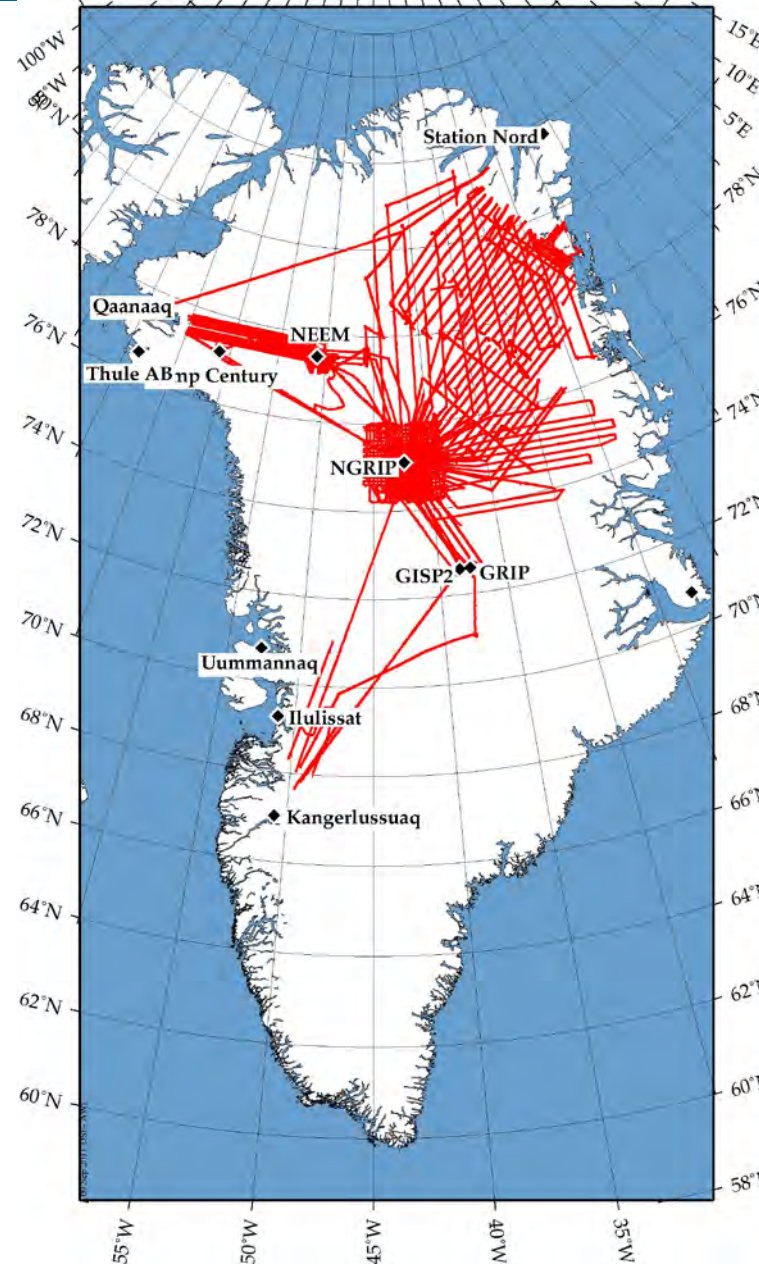
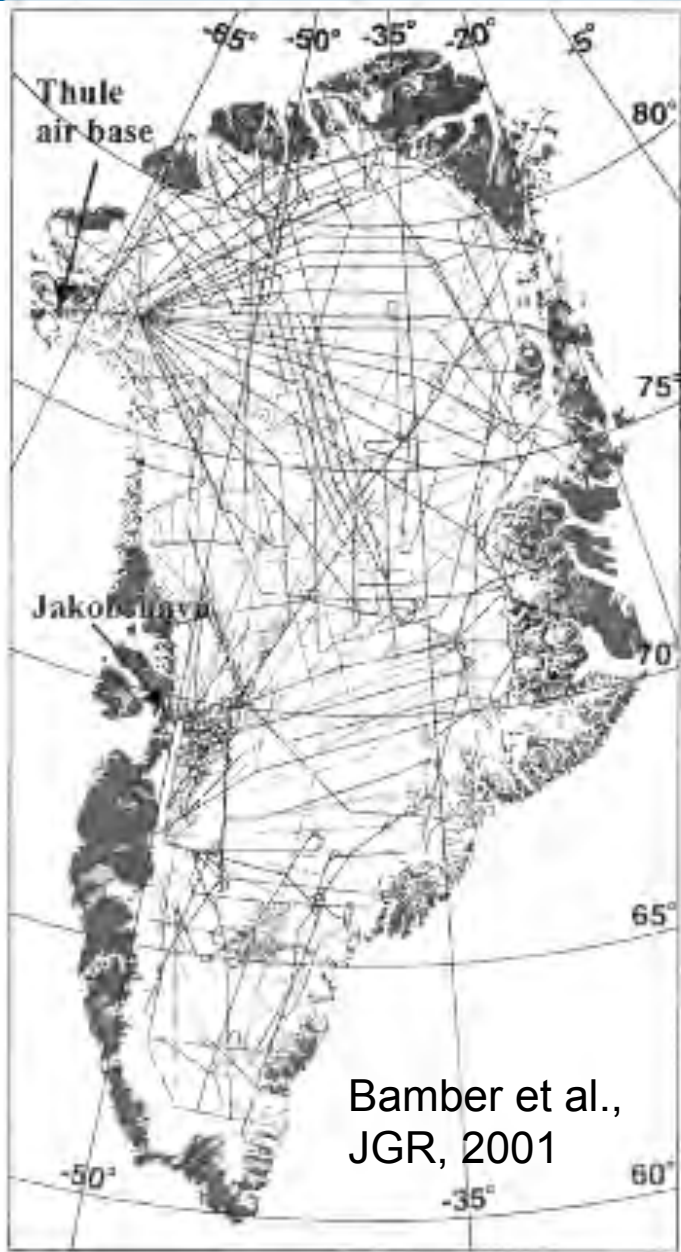


POLAR 2 (D-CAWI)



Steinhage et.al., *Journal of Applied Geophysics* 47 (3-4), pp. 183-189, 2001

Kartierung im internationalen Verbund

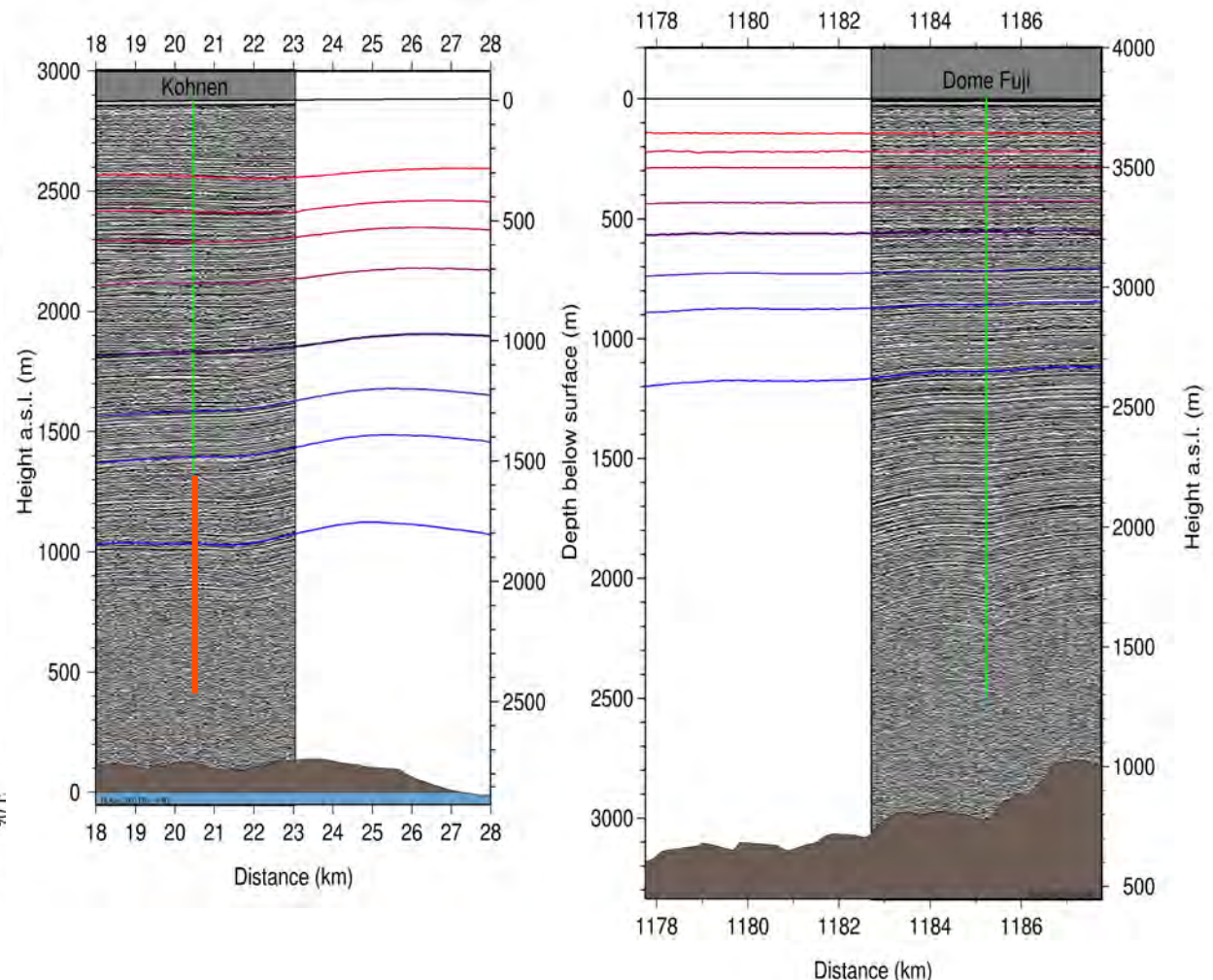
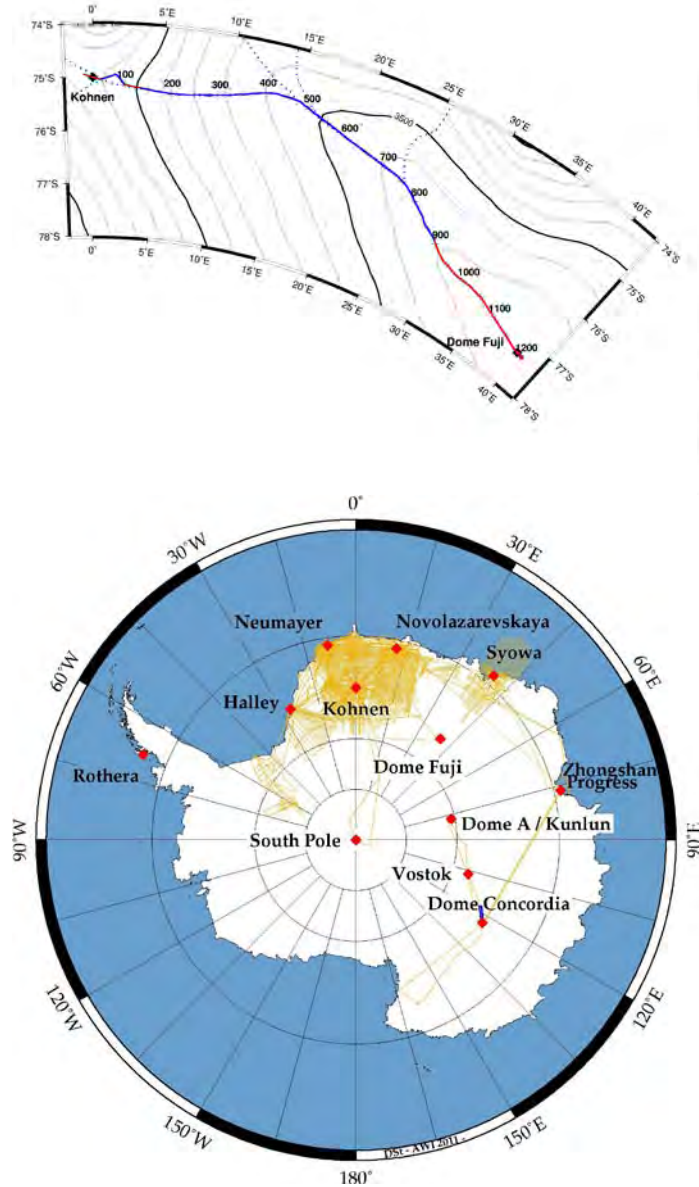


mehr als
40 000
Profil-
kilometer
werden
zur nächsten
Version
beigetragen



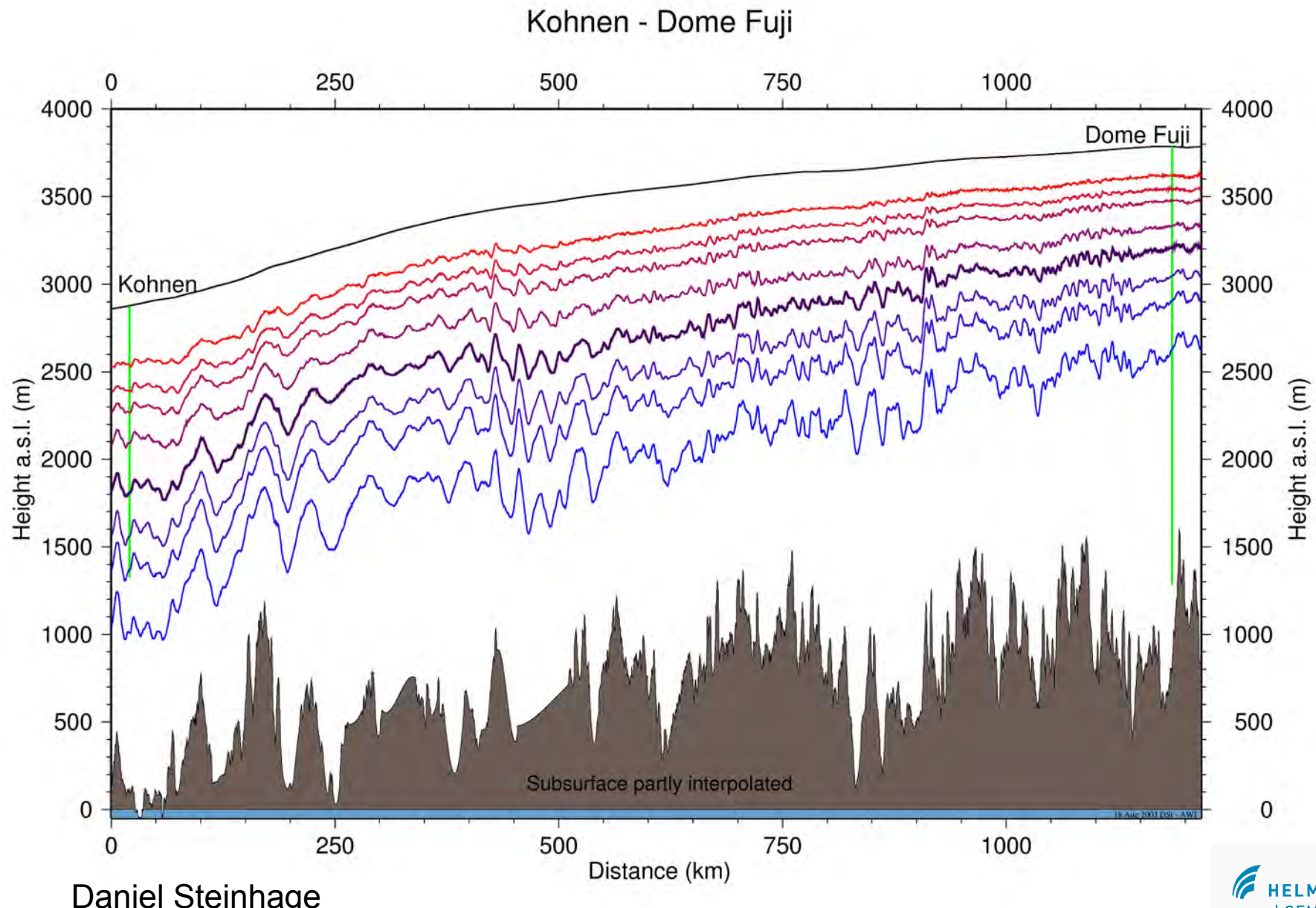
Daniel Steinhage

Verbindung von Tiefbohrlokalisationen

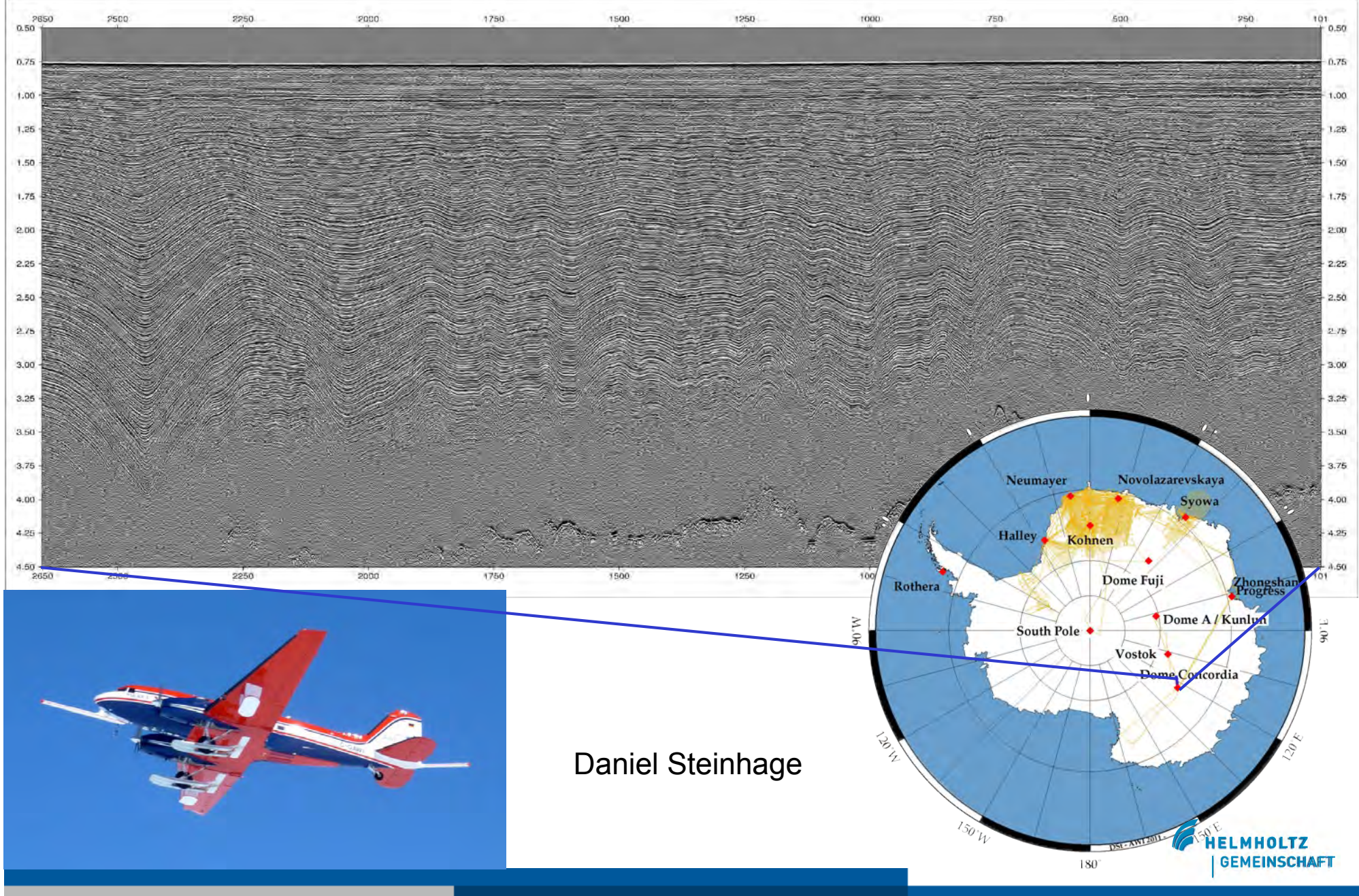


Daniel Steinhage

Transport der Zeitskala



Polar 5 eröffnet Möglichkeiten

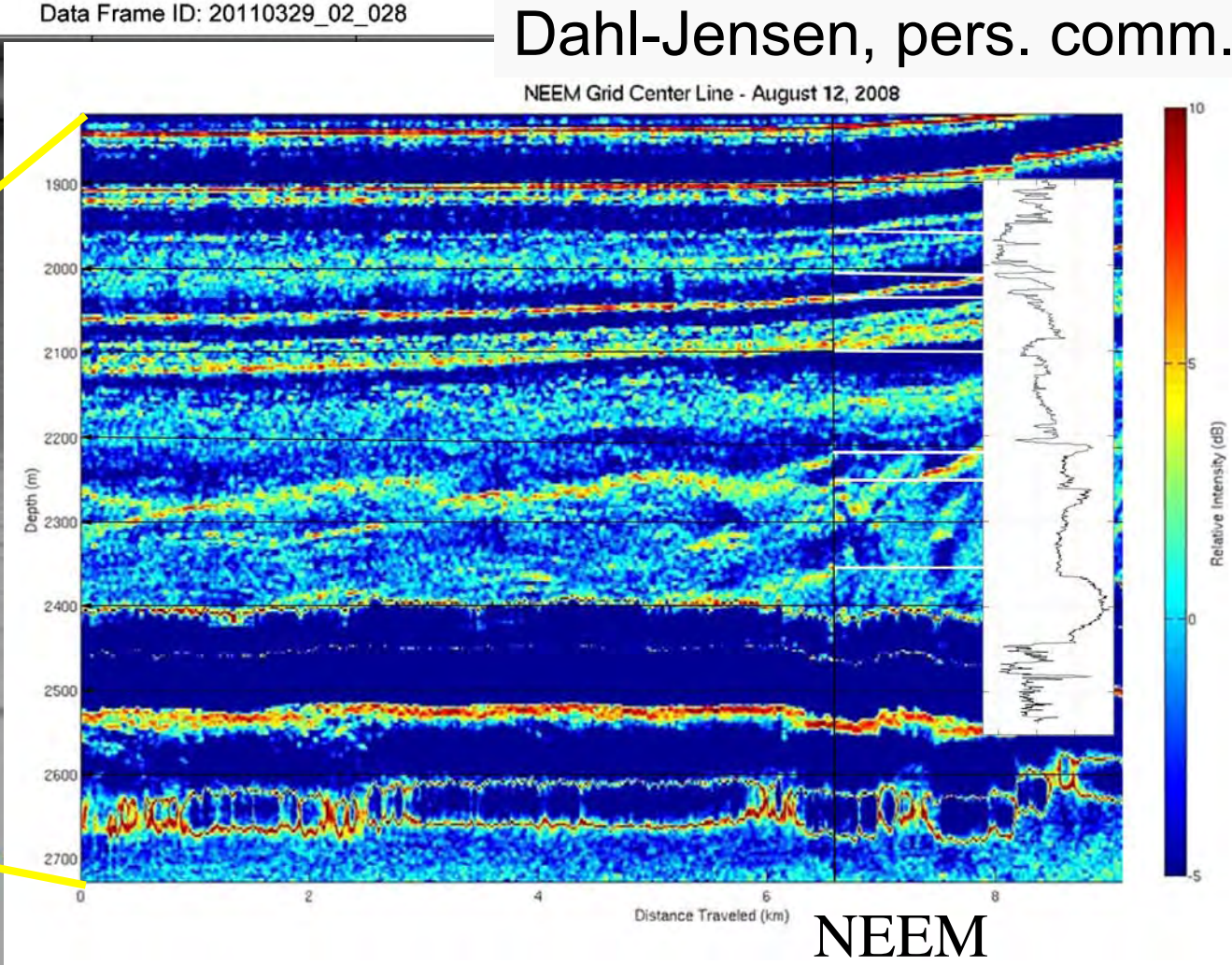
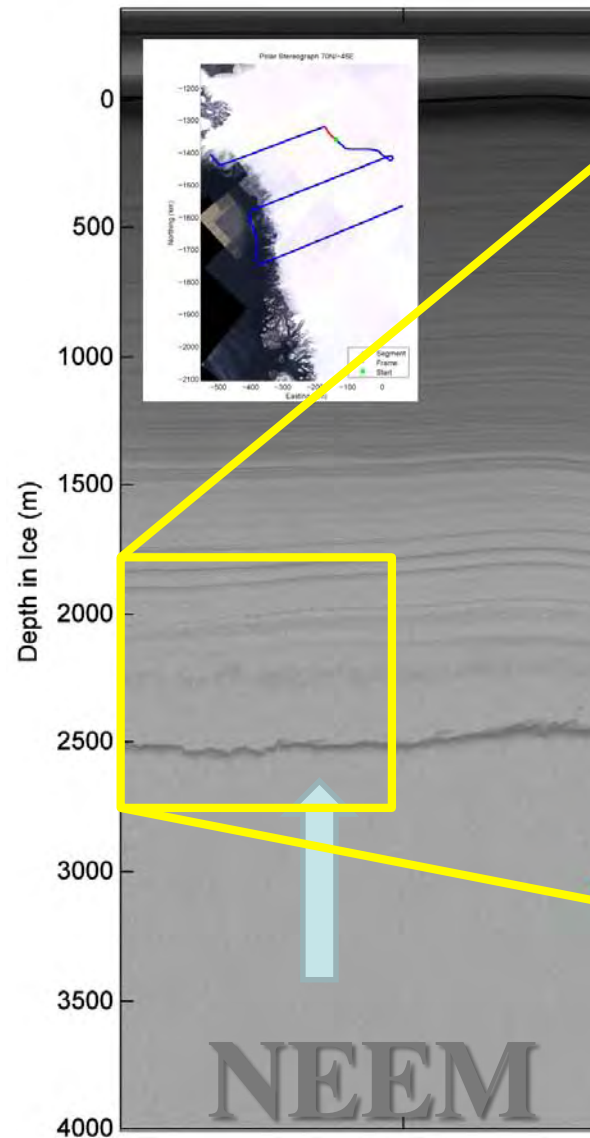


Neueste Radargeneration von CreSIS



Data Frame ID: 20110329_02_028

Dahl-Jensen, pers. comm.



RES data: CreSIS, Gogineni

50

0.00 km
77.428 N
50.916 W

10.46 km
77.481 N
51.269 W

20.92 km
77.538 N
51.615 W

Distance
Latitude
Longitude

31.38 km
77.599 N
51.943 W

41.84 km
77.668 N
52.237 W

52.29 km
77.743 N
52.499 W

Zusammenfassung & Ausblick



Danke für Ihre Aufmerksamkeit!



Foto:
Hannes Grobe